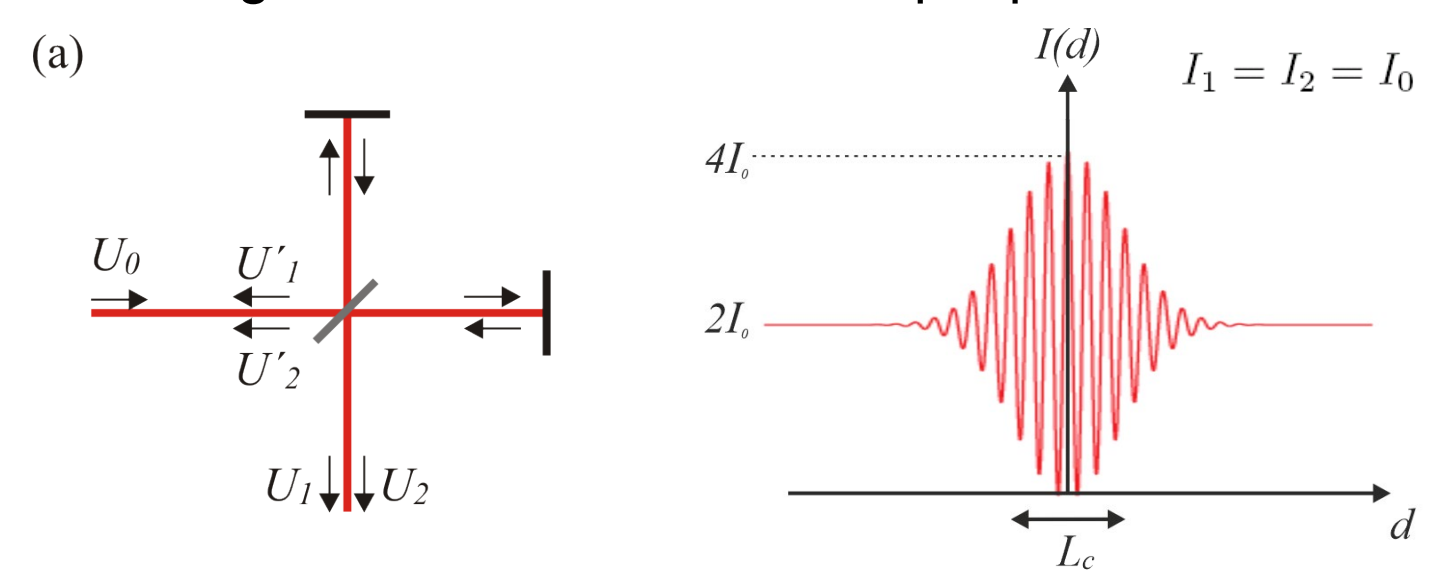
Ingénierie optique

Semaine 4 – partie 1





Les franges ne sont bien visibles que pour une différence de chemin *d* limitée:

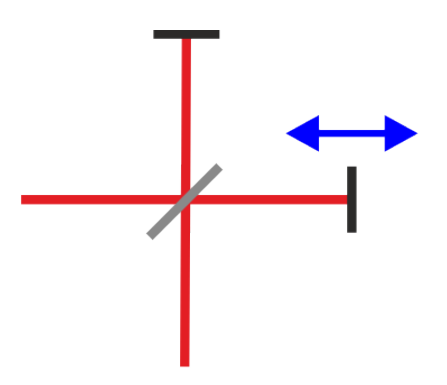


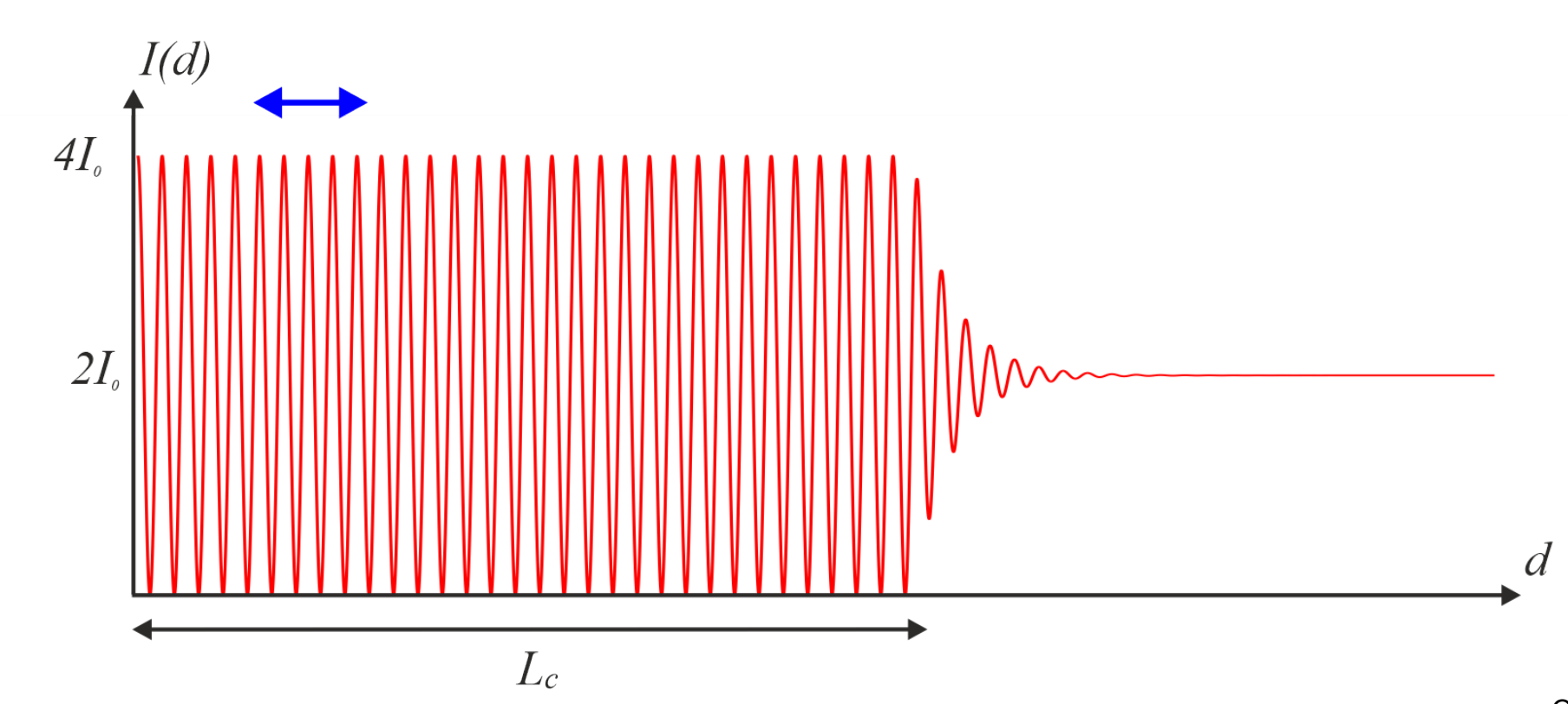
Laser type	Typical coherence length	
Lamp pumped Nd:YAG	1 cm	
HeNe (non-stabilized)	20 cm	
HeNe (stabilized)	1km	
Argon/Krypton	1 cm	
Argon/Krypton and		
Etalon	1 m	
Dye laser	5 250 m	
Fibre laser		
(non-stabilized)	50 µm	
Fibre laser (stabilized)	100 km	
Free-running diode laser	<1 mm	
External-cavity diode		
laser	100 1000 m	

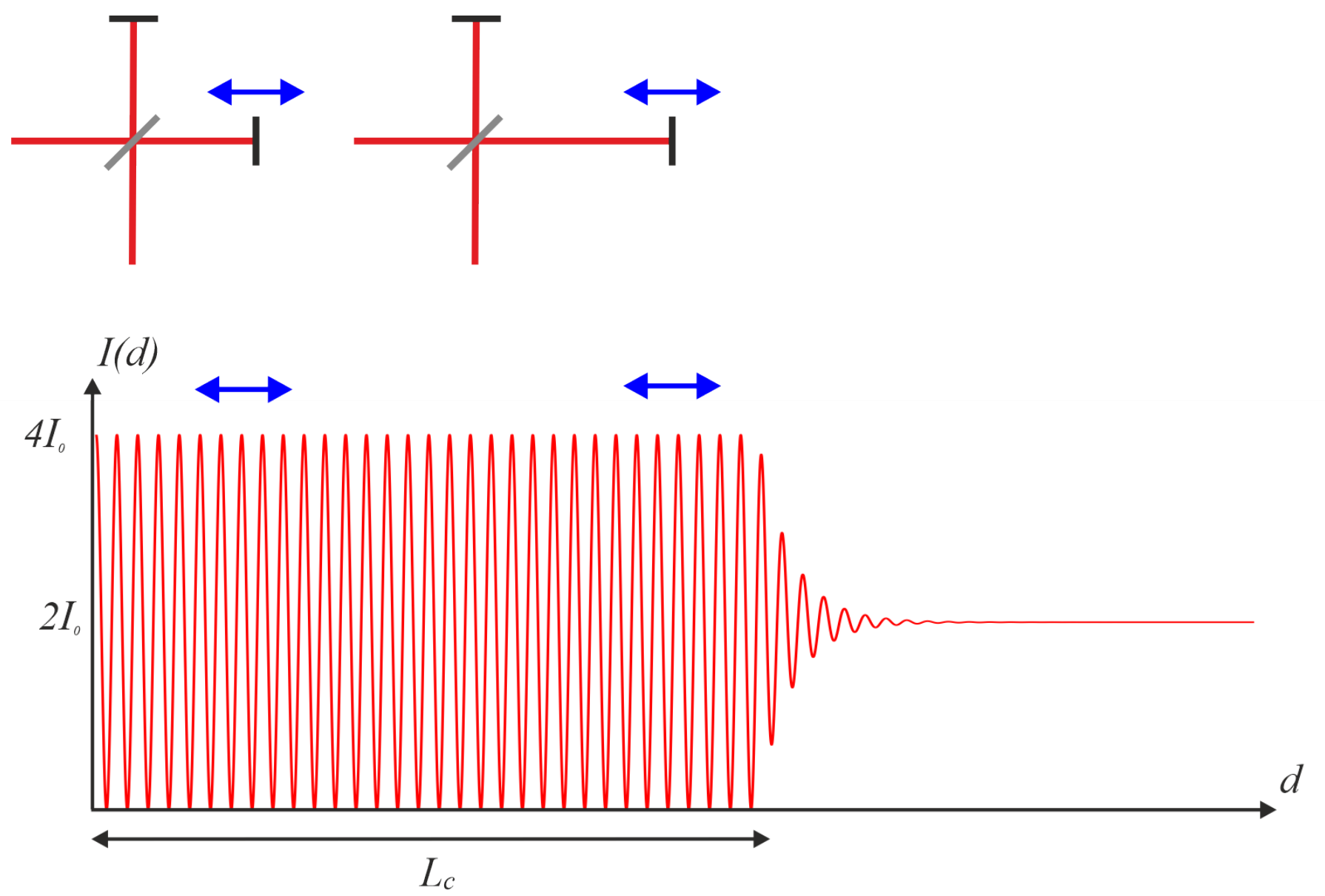
Visibilité des franges: $\mathcal{V} = \frac{I_{\max} - I_{\min}}{I_{\max} + I_{\min}}$

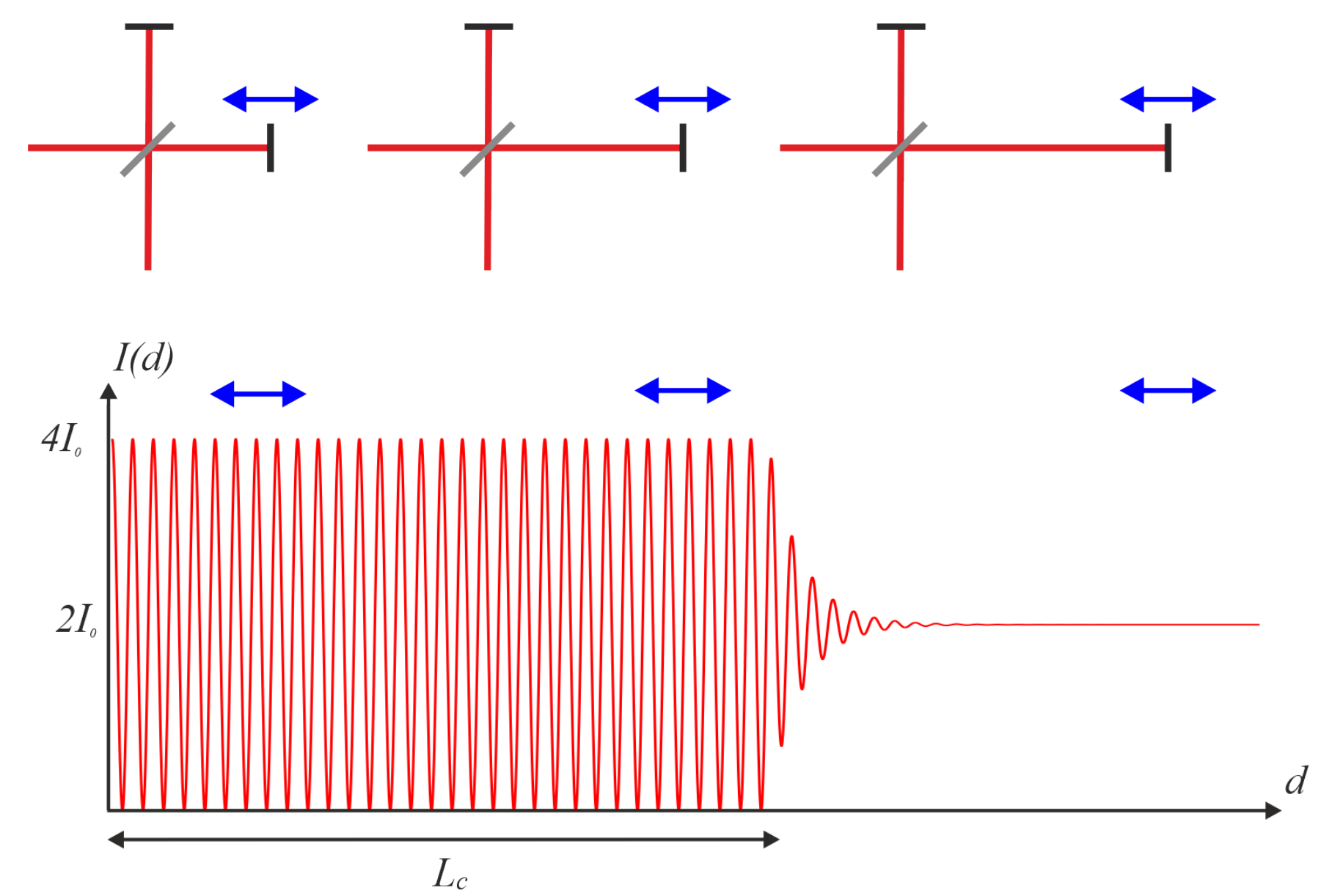
Longueur de cohérence: L_c distance pour laquelle la visibilité est supérieure à la moitié du maximum

Temps de cohérence $au_c = \frac{L_c}{c}$



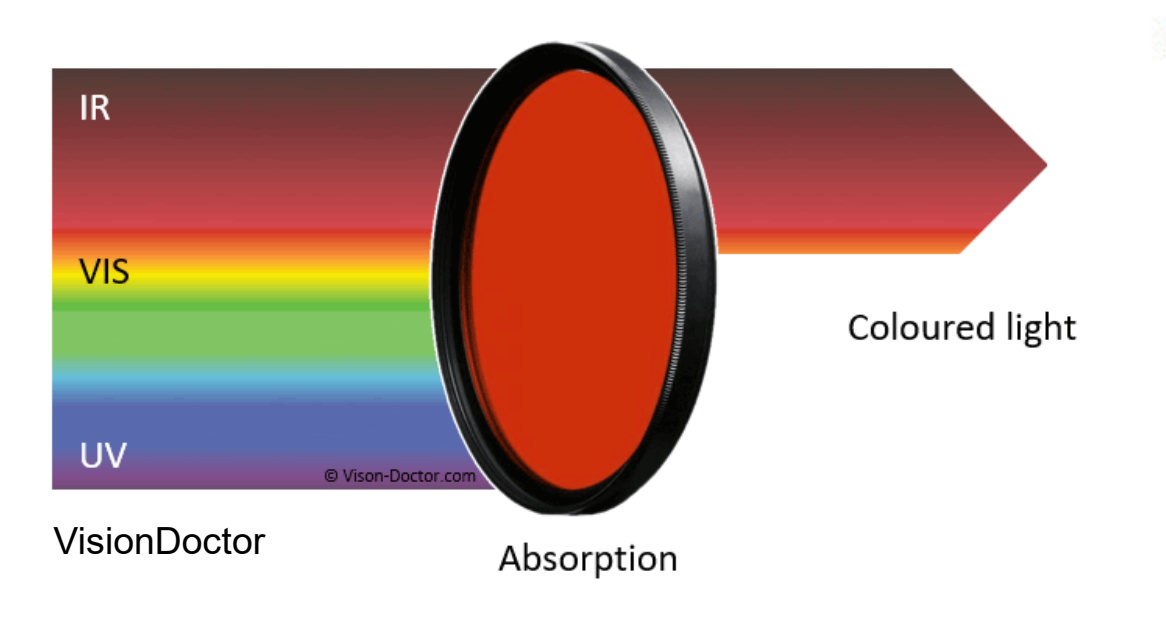


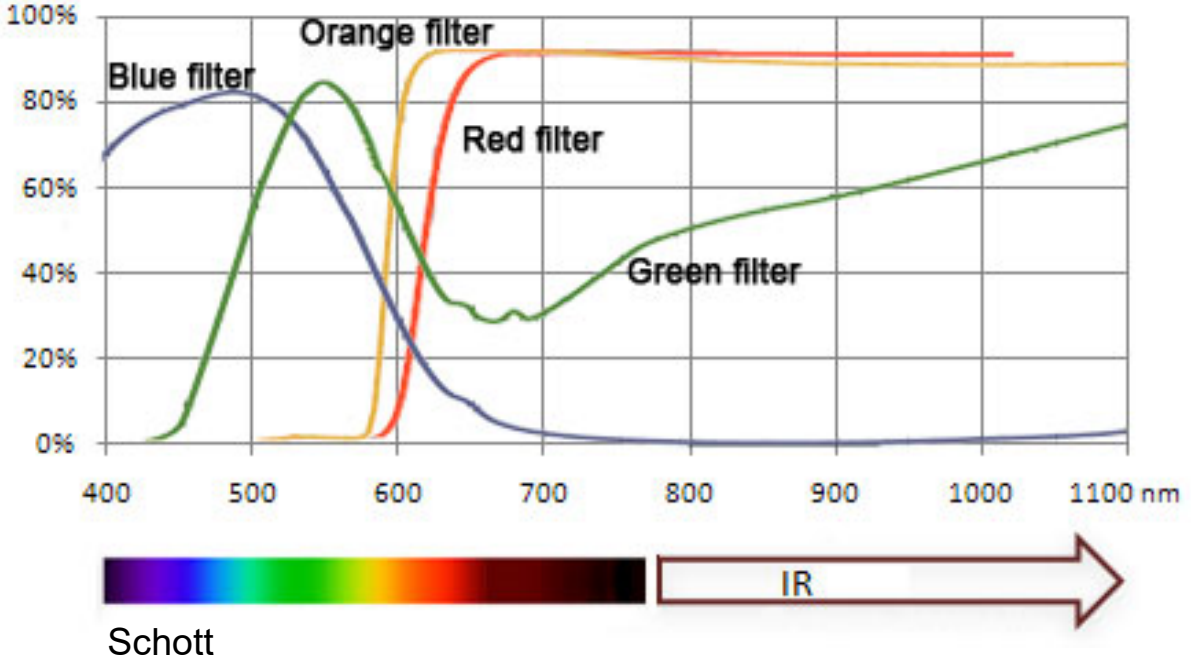




Filtres

- Il est souvent utile de ne sélectionner qu'une partie du spectre visible
- On peut le faire en utilisant un morceau de verre coloré (filtre)
- La sélection spectrale n'est cependant pas très bonne (étroite)

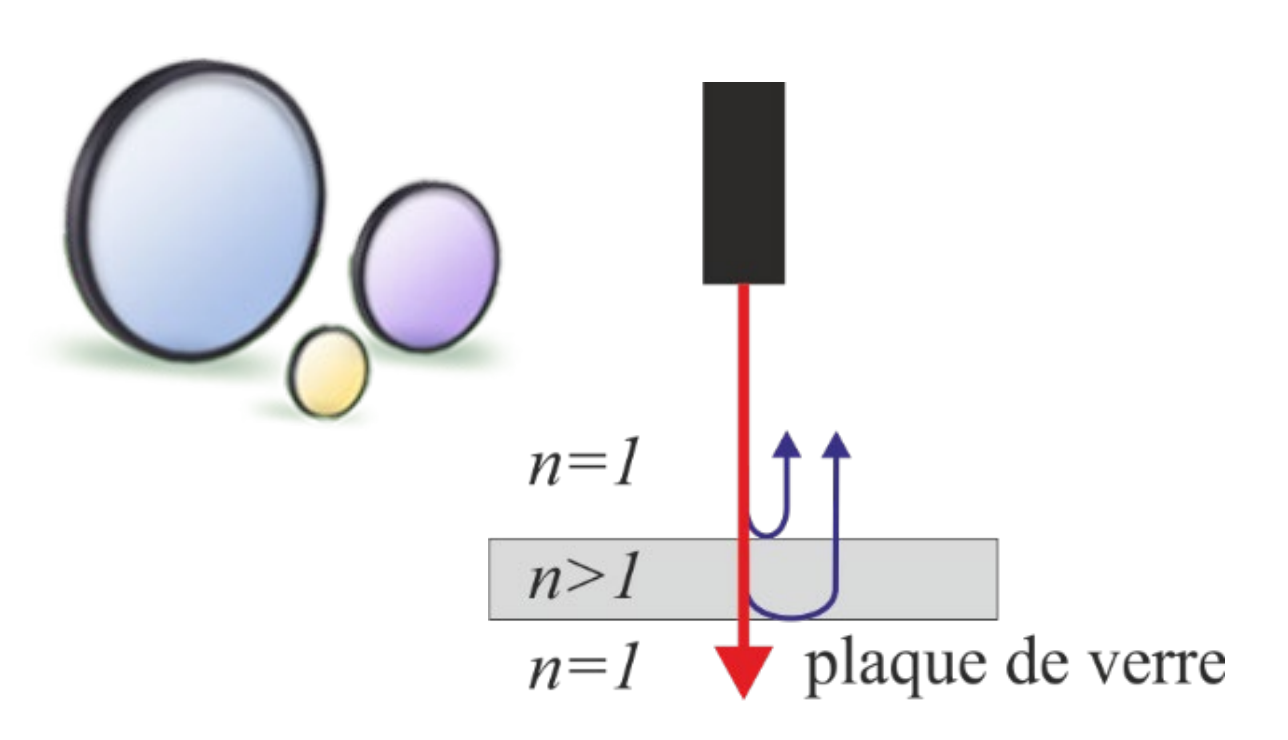


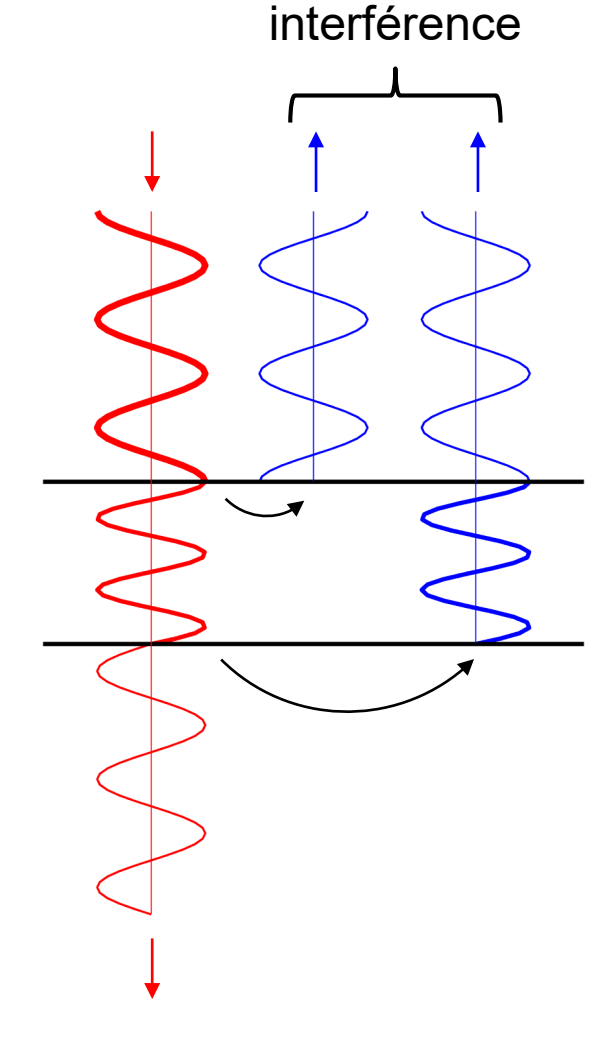


La lumière est réfléchie par chaque interface

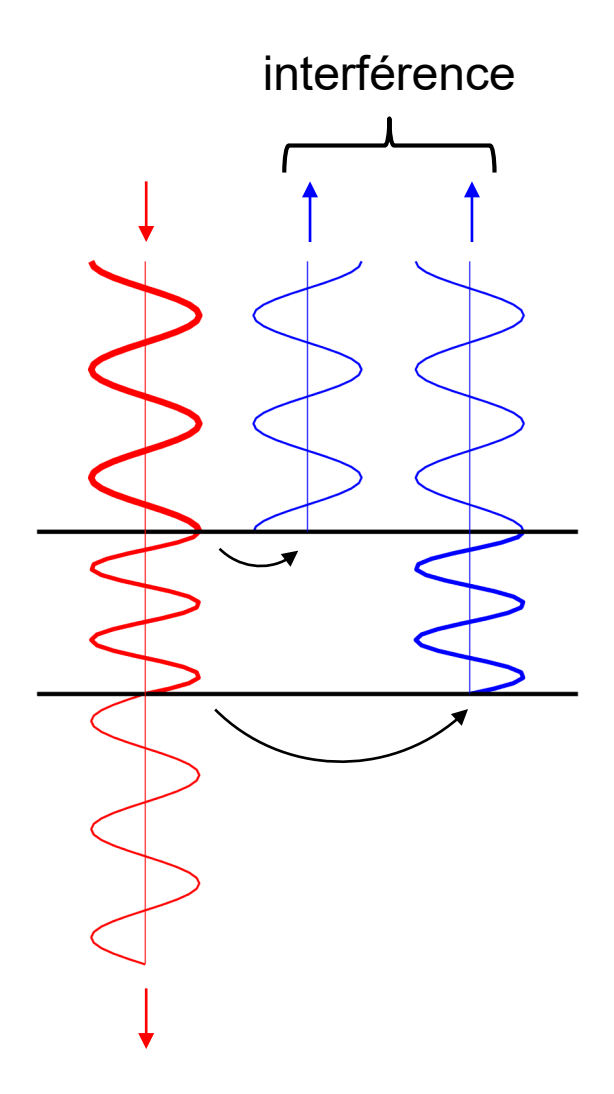
Ces ondes interfèrent de façon constructive ou destructive, permettant de

sélectionner des fréquences très précises

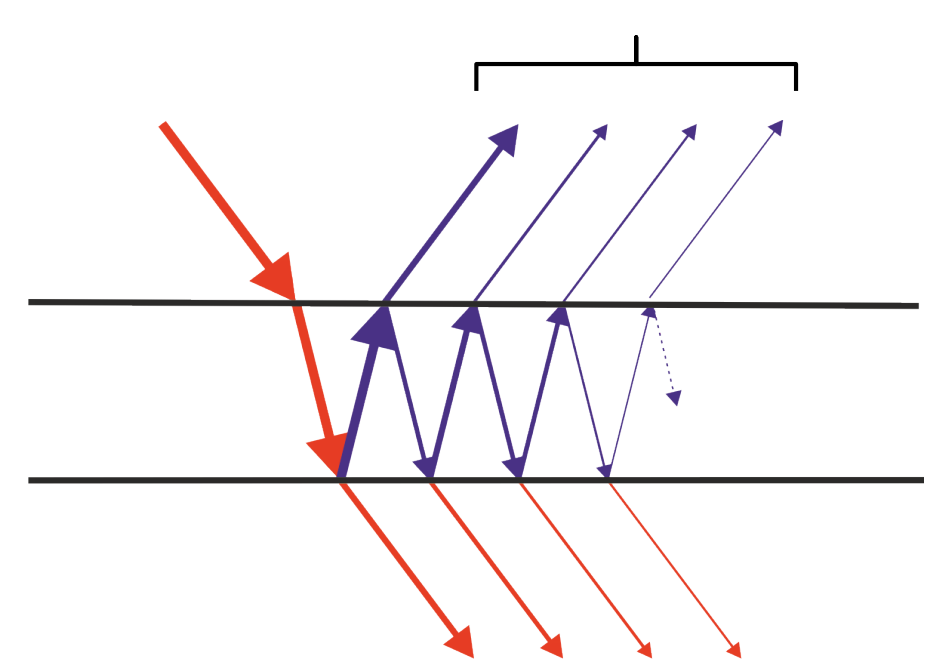




- L'interférence peut être constructive ou destructive, suivant:
 - L'épaisseur de la plaque
 - L'indice de réfraction de la plaque
 - La longueur d'onde
- Epaisseur minimale de la plaque pour créer une interférence est λ/4
- Le calcul exact nécessite les coefficients de Fresnel qui déterminent les amplitudes des ondes réfléchies et transmises...



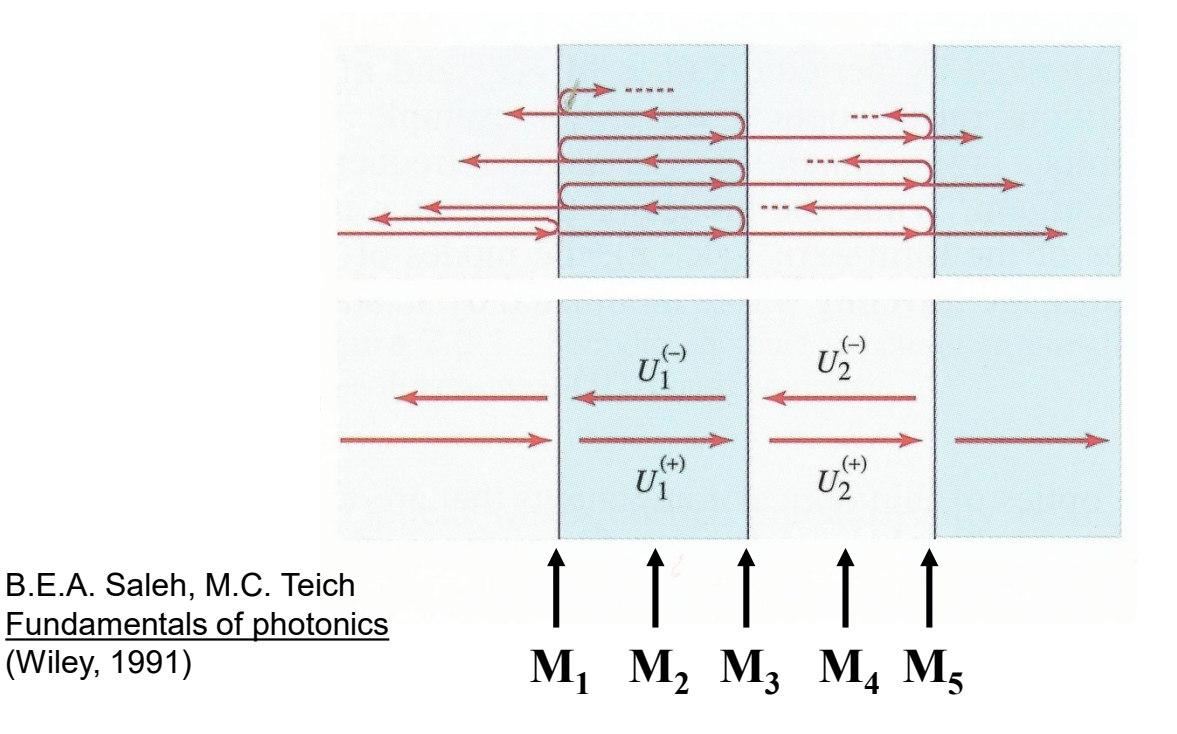
- En réalité, il y a une infinité d'odes réfléchies et transmises (mais cette «série» d'ondes converge vers le résultat final)
- On le comprend mieux en regardant ce qui se passe sous une incidence oblique interférence

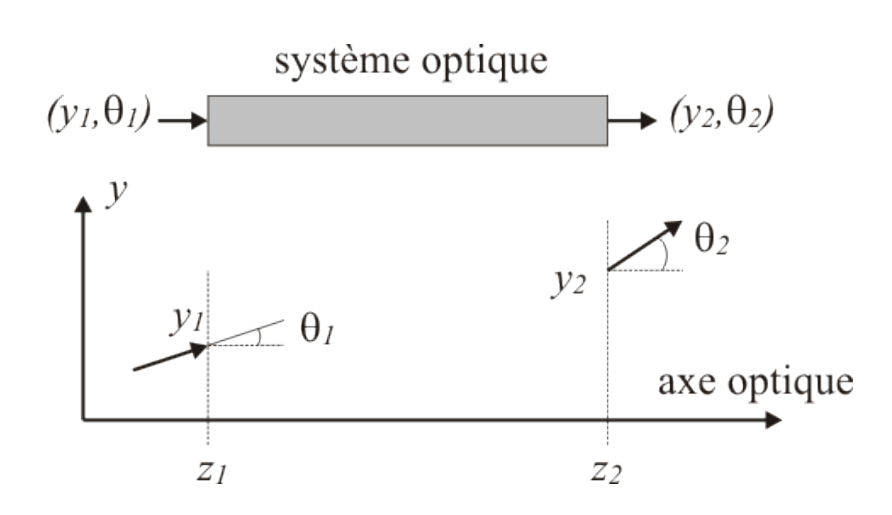


• Un tel système s'étudie avec une approche matricielle appelée matrices de transfert ou de diffusion

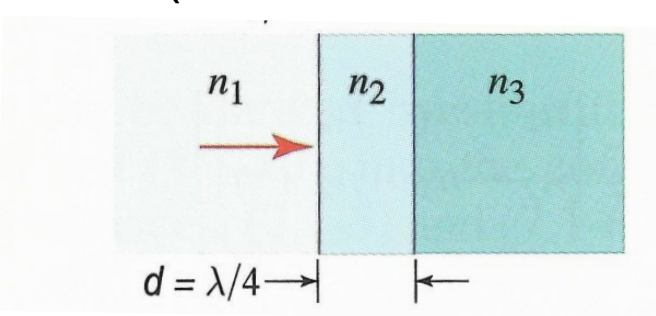
Matrice de transfert

- L'infinité d'ondes réfléchies et transmises peut être remplacée par une paire d'ondes allant dans une direction et dans l'autre
- A chaque élément du milieu stratifié (interface, propagation) on associe une matrice de diffusion et la réponse du système s'obtient par multiplication de toutes matrices
- Cette approche va au-delà de la méthode ABCD car on obtient les ondes qui se propagent dans les deux directions



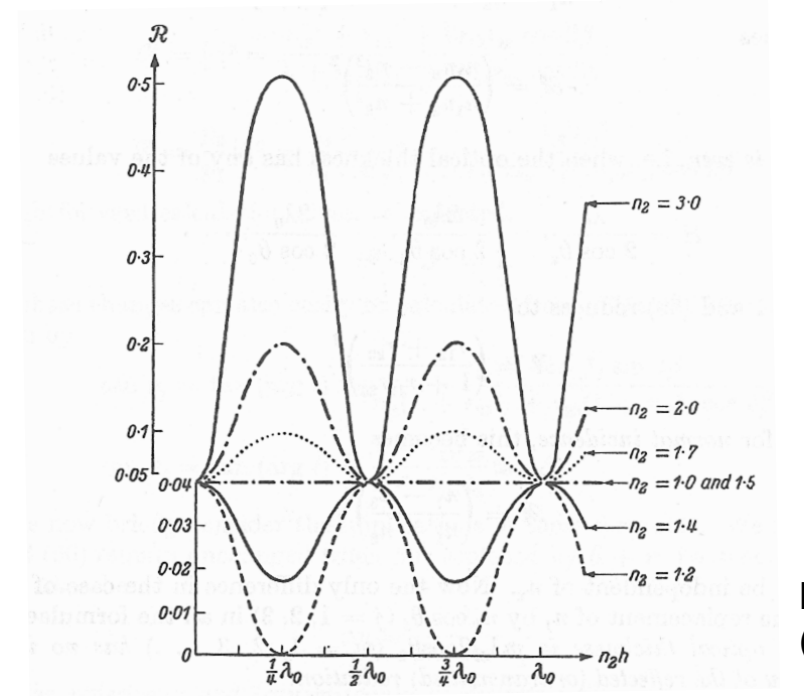


Lame quart-d'onde (couche anti-réfléchissante)



$$n_2 = \sqrt{n_1 n_3}$$

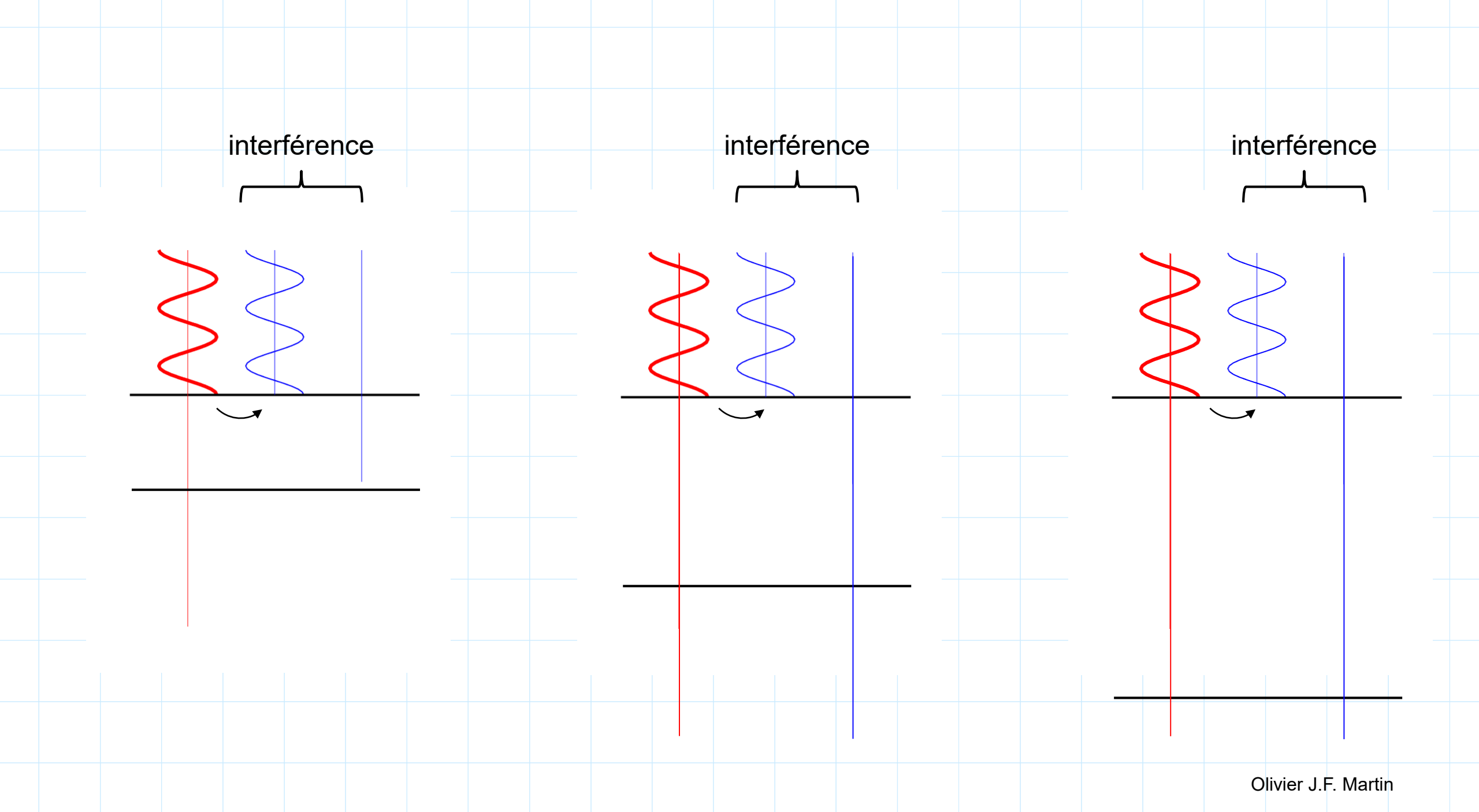
• La réflectivité oscille de façon périodique, une épaisseure égale à $\lambda/4$ joue un rôle moteur $(\theta_1 = 0, n_1 = 1, n_3 = 1.5)$





wiseeyesoptical.com

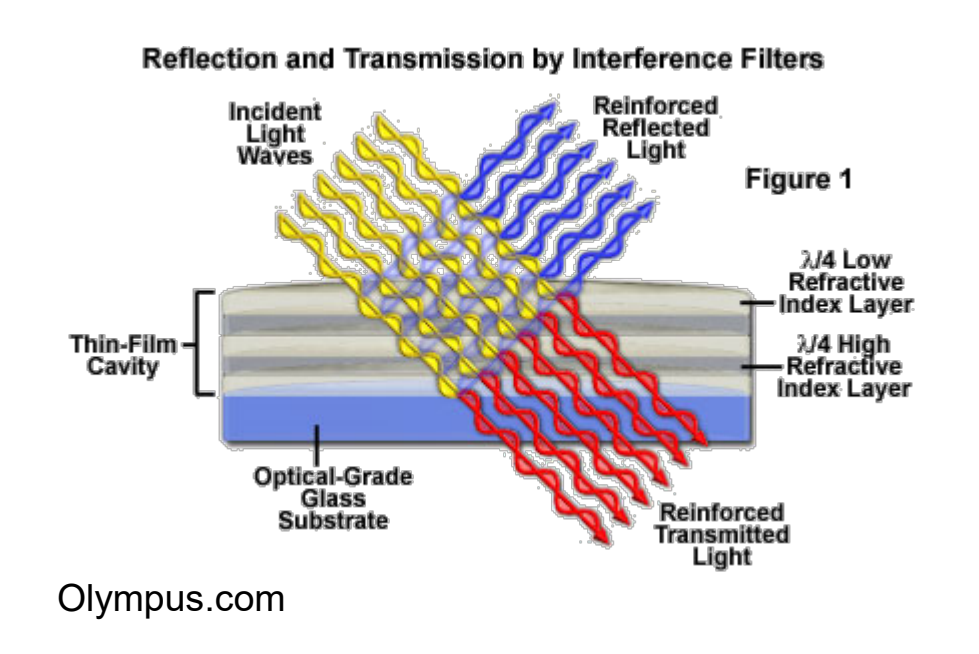
Born, Wolf, <u>Principles of optics</u> (6th Ed., Pergamon Press, 1980)

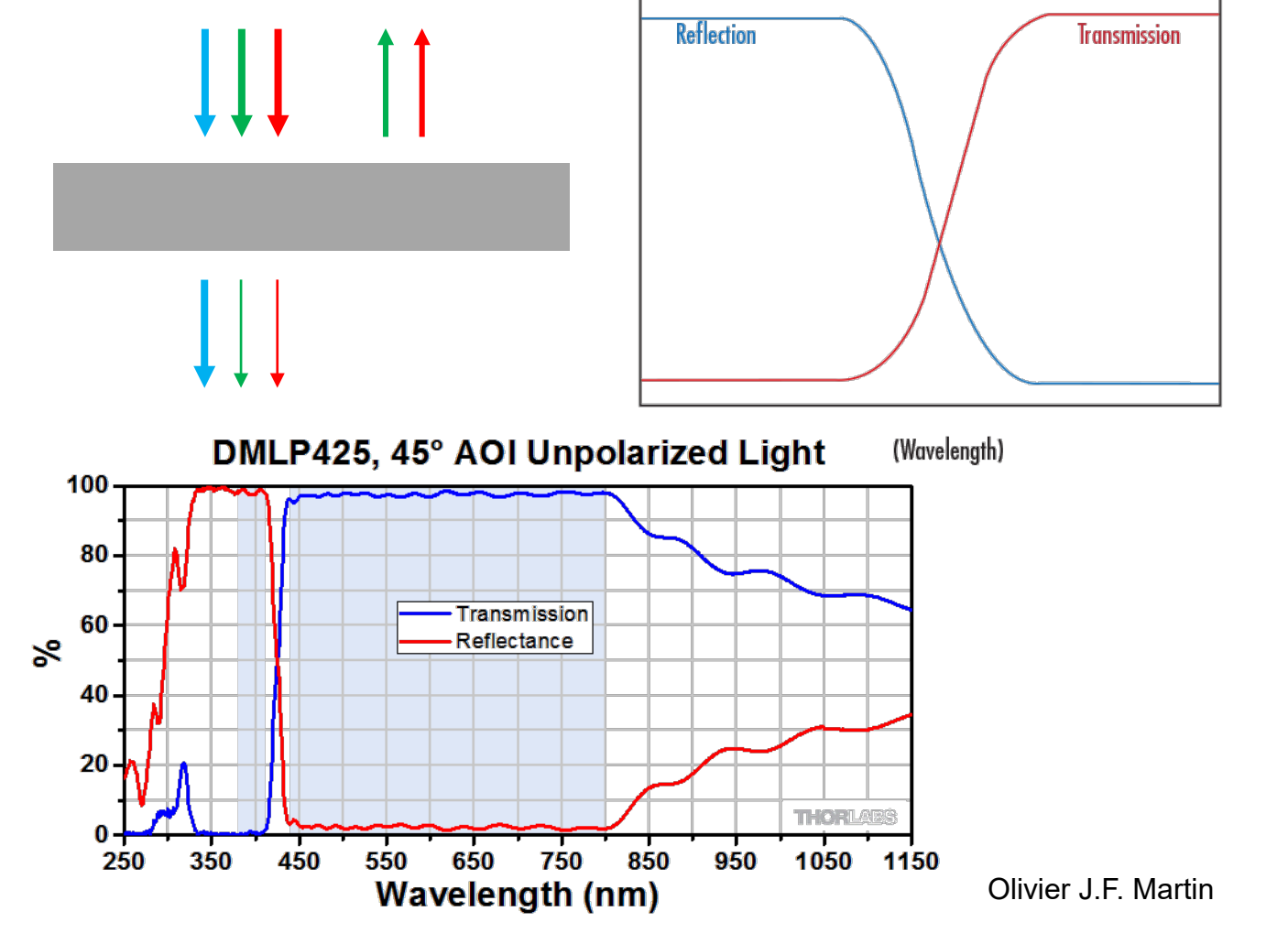


En ajoutant des couches (~10-20) on obtient une très bonne sélectivité spectrale

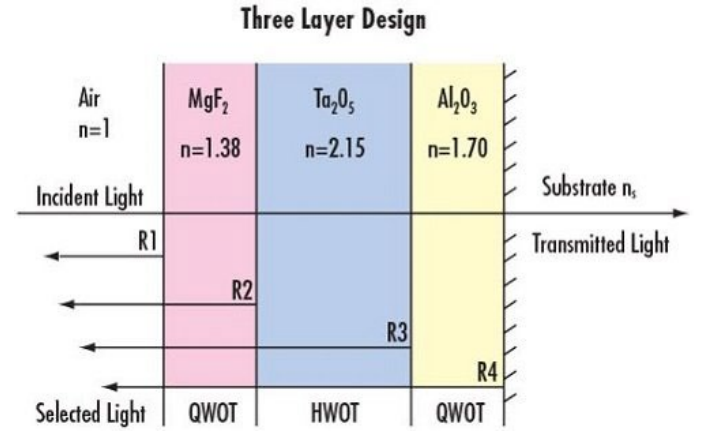
S'il n'y a pas d'absorption dans les couches, l'énergie est conservée et la lumière

est soit transmise, soit réfléchie





Technologies pour la déposition des couches minces



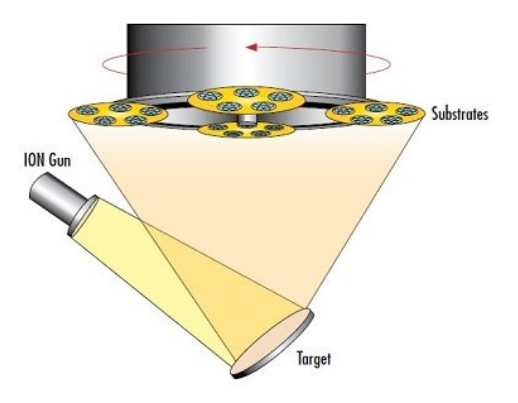


Figure 5: During ion beam sputtering (IBS), a strong electric field accelerates ions from an ion gun onto the target, which releases more ions that deposit a dense thin film coating on the rotating substrates

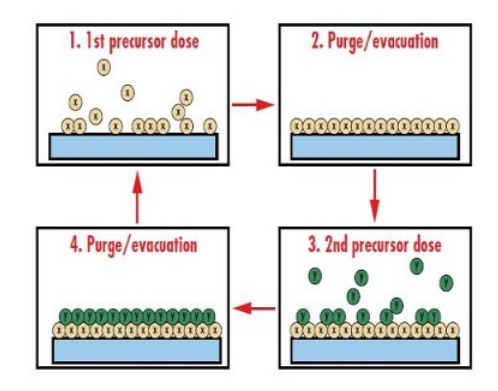
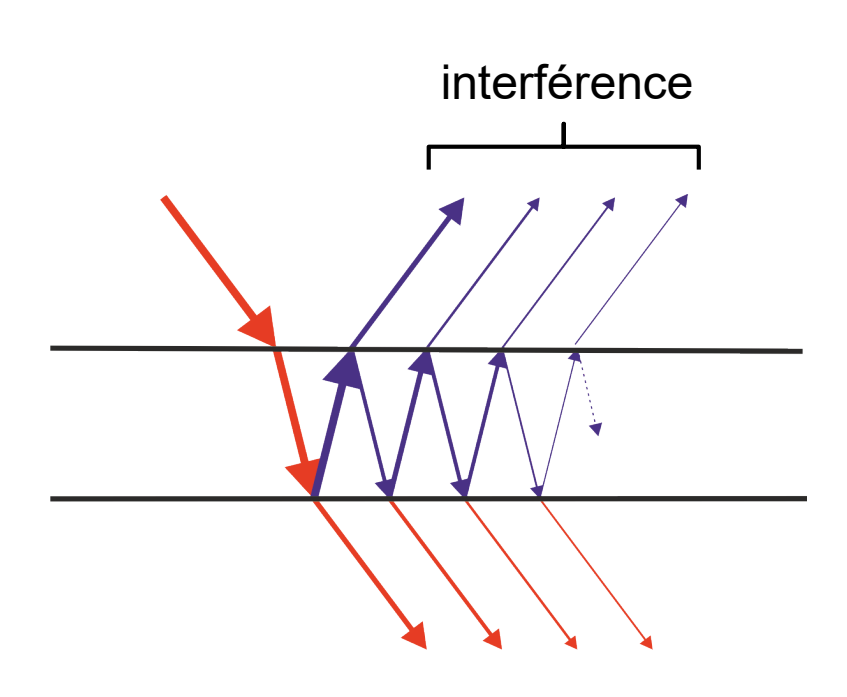


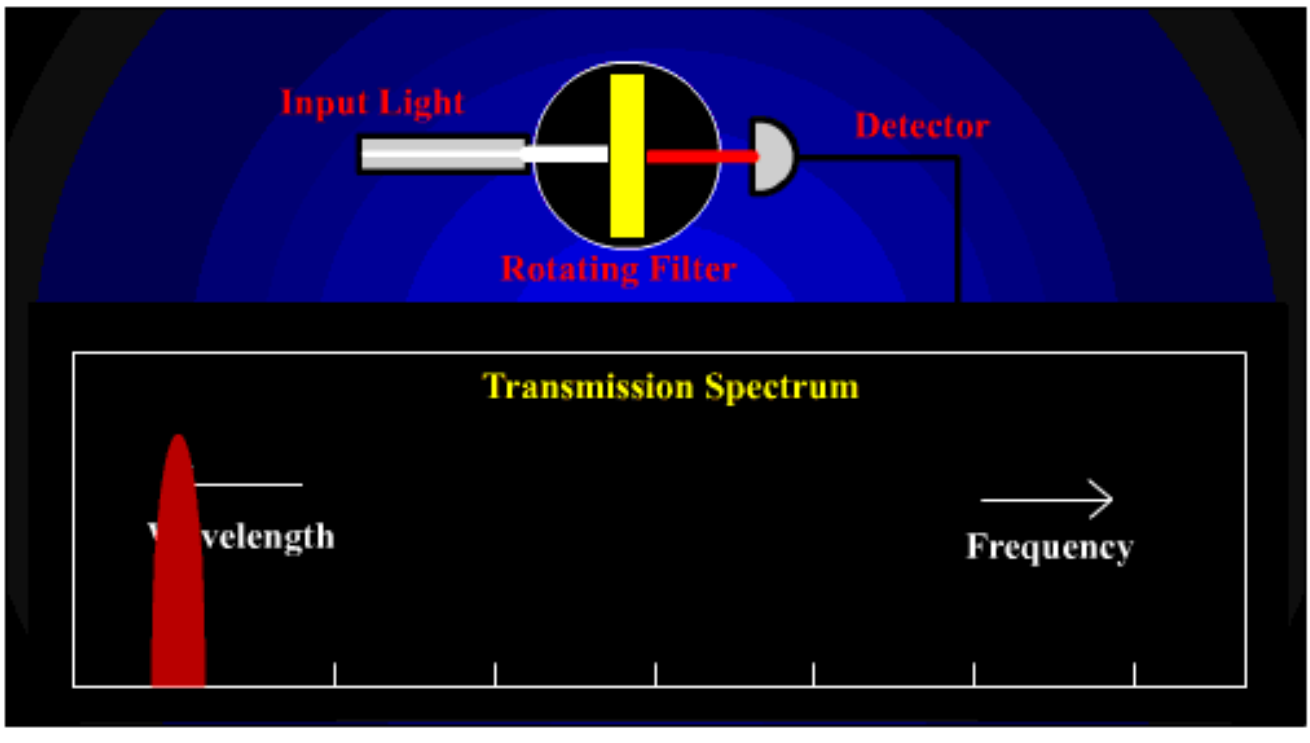
Figure 6: During atomic layer deposition (ALD), individual thin film layers are deposited by exposing the optics to different gaseous precursors, which results in a high level of control of layer thickness independent of the surface geometry of the optics

	Evaporative	Evaporative with IAD	Plasma Sputtering	IBS	ALD
Spectral Performance	Low	Medium	High	High-Very High	Very High
Coating Stress	Low	Medium	High	Very High	High
Repeatability	Medium	Medium	High	Very High	Very High
Process Time	Slow	Slow	Intermediate	Very Slow	Very Slow
Non-Flat Geometry Capabilities	Better	Better	Good	Bad	Best
Relative Price	\$	\$	\$\$	\$\$\$	\$\$\$

Table 1: Comparison of different coating technologies (IAD: ion assisted deposition, IBS: ion beam sputtering, ALD: atomic layer deposition⁴

- Le chemin optique (trajet de la lumière dans le verre) dépend de l'angle d'incidence
- En général, un filtre fonctionne bien à incidence normale...
- ... on peut cependant le tourner pour ajuster spectralement sa réponse ("épaisseur effective")





RP Photonics

Ingénierie optique

Semaine 4 – partie 2





Battements

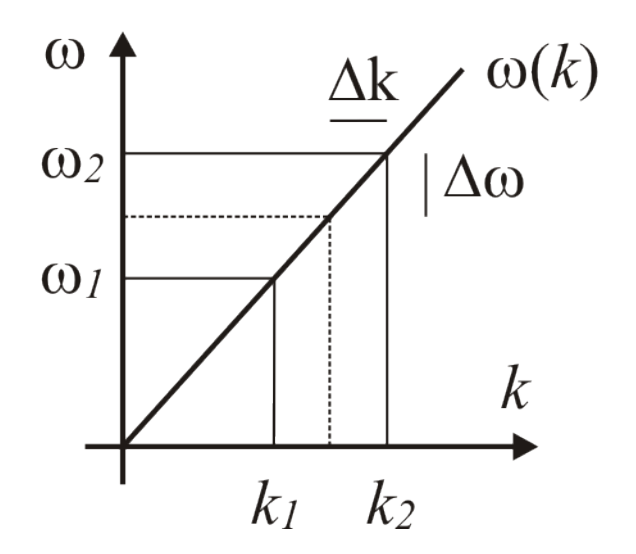
• Superposition de deux ondes de <u>fréquences différentes</u>:

$$U_1(z,t) = U_0 e^{j\omega_1 t - jk_1 z}$$

 $U_2(z,t) = U_0 e^{j\omega_2 t - jk_2 z}$.

• En introduisant $2k_0 = k_1 + k_2$ $2\Delta k = k_2 - k_1$

$$2\omega_0 = \omega_1 + \omega_2 \qquad 2\Delta\omega = \omega_2 - \omega_1$$

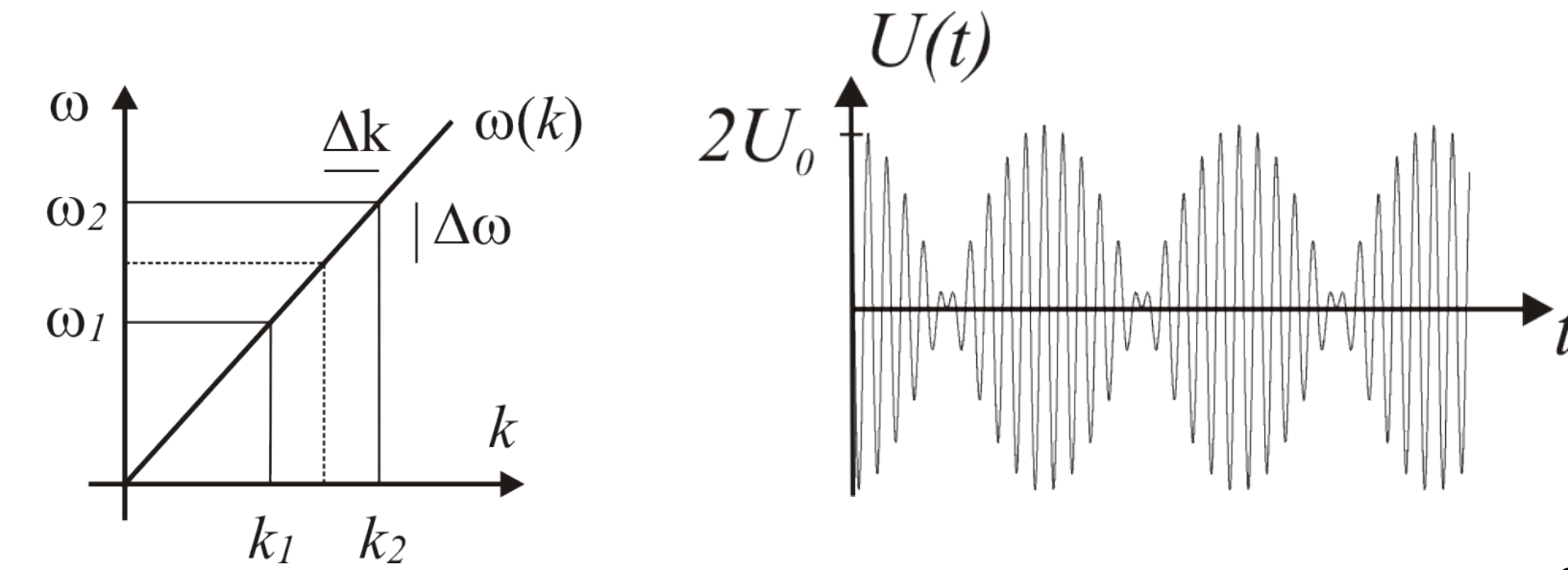


Battements

Champ total:

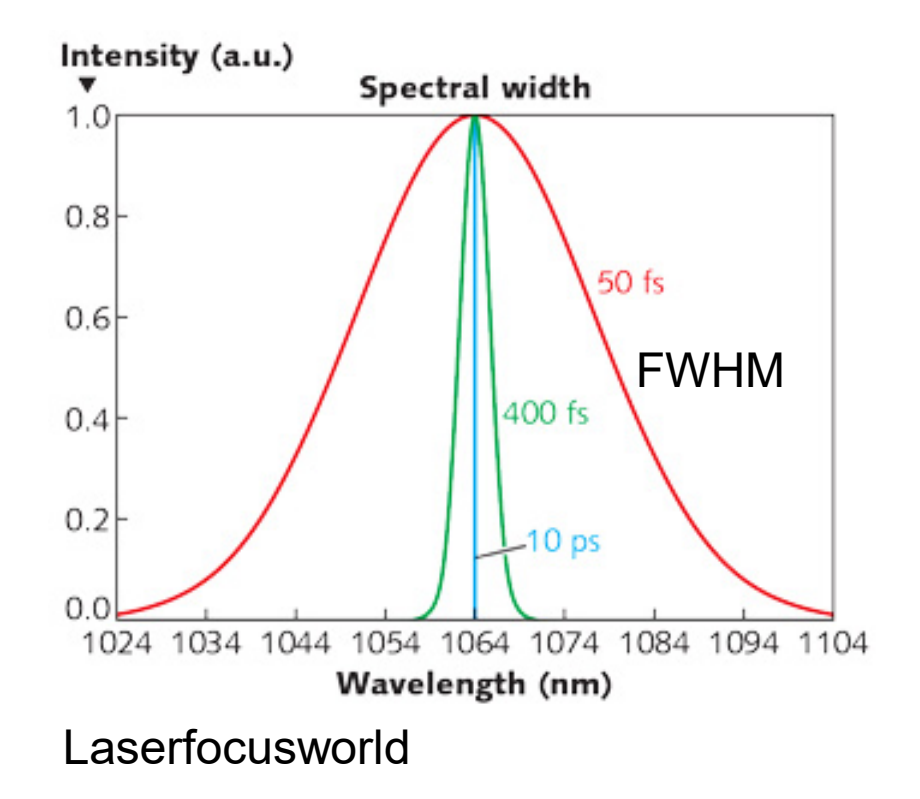
$$U(z,t) = U_0 e^{j\omega_0 t - jk_0 z} \left(e^{j\Delta\omega t - j\Delta kz} + e^{-(j\Delta\omega t - j\Delta kz)} \right)$$
$$= 2U_0 e^{j\omega_0 t - jk_0 z} \cos\left(\Delta\omega t - \Delta kz\right).$$

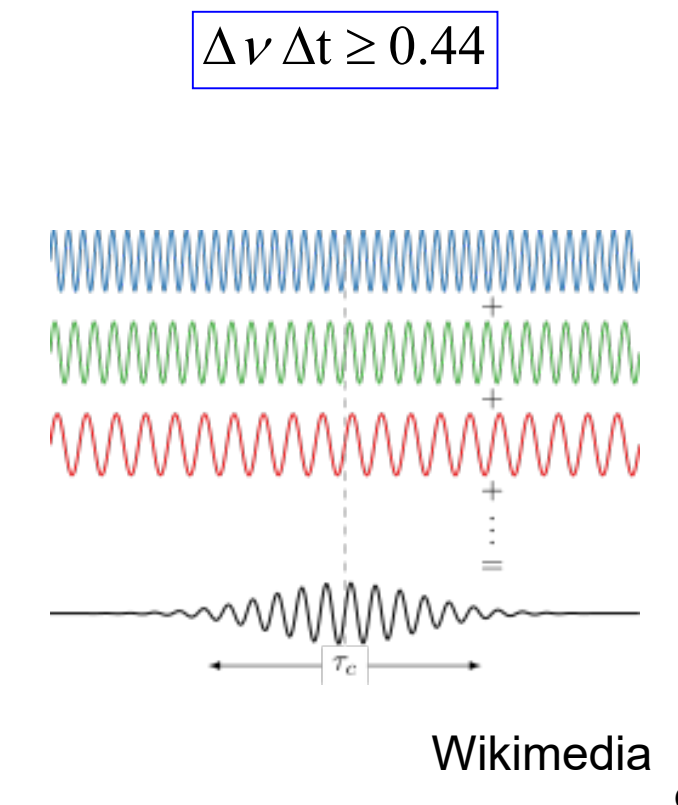
- Porteuse d'amplitude $2U_0$ caractérisée par ω_0 et k_0
- Modulation d'amplitude 1 et caractérisée par $\Delta \omega$ et Δk



Génération de pulse

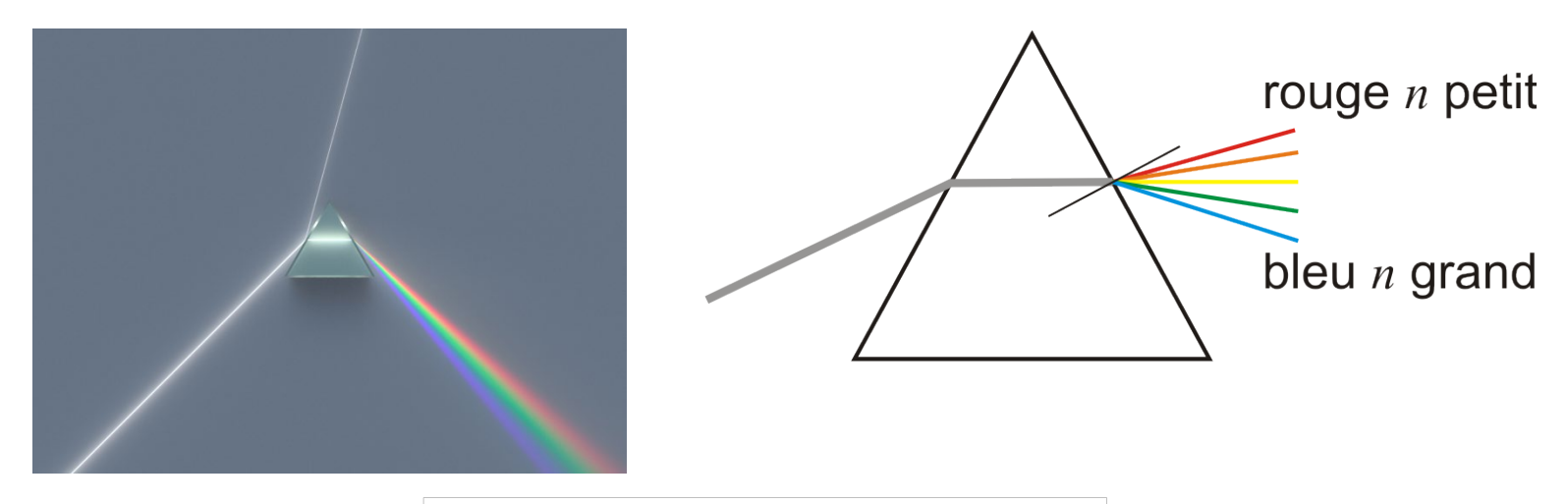
- En superposant plusieurs ondes de fréquences différentes couvrant une certaine largeur spectrale il est possible de créer un pulse de très courte durée temporelle
- Il existe une relation (qui dépend de la forme du pulse, ici on considère un pulse Gaussien) entre la largeur spectrale et la durée du pulse:



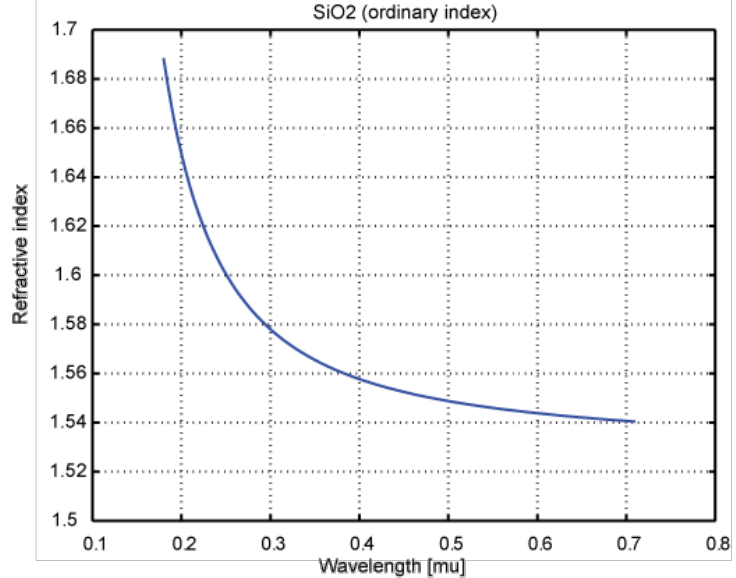


Dispersion des matériaux

- En optique, tout matériau est dispersif
- En général l'indice augmente avec la fréquence

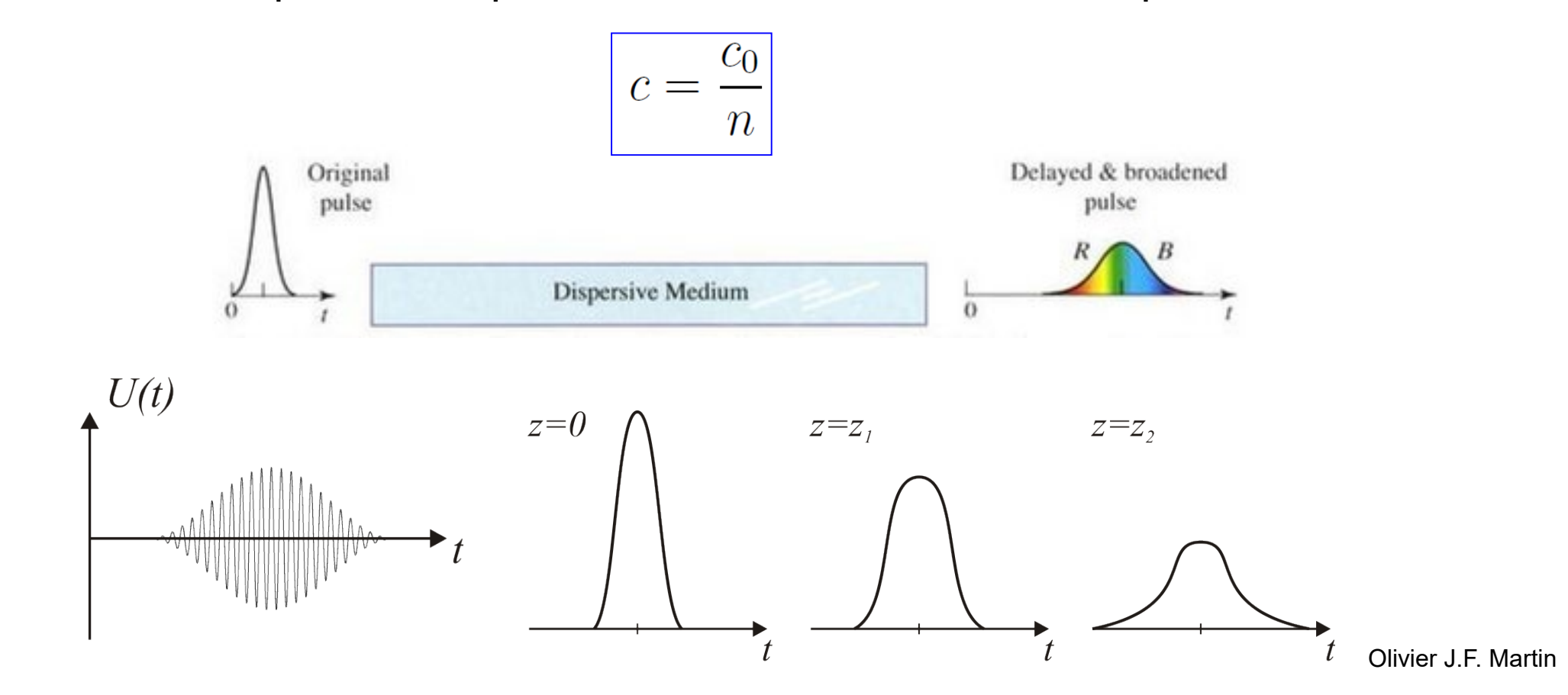


Dispersion de la silice:



Effet de la dispersion

- L'effet de la dispersion est très important pour la transmission de l'information, d'autant plus que l'on utilise des pulses courts!
- Etalement d'un paquet d'onde au fur et à mesure de sa propagation
- Les différentes composantes spectrales vont à des vitesses de phase différentes:



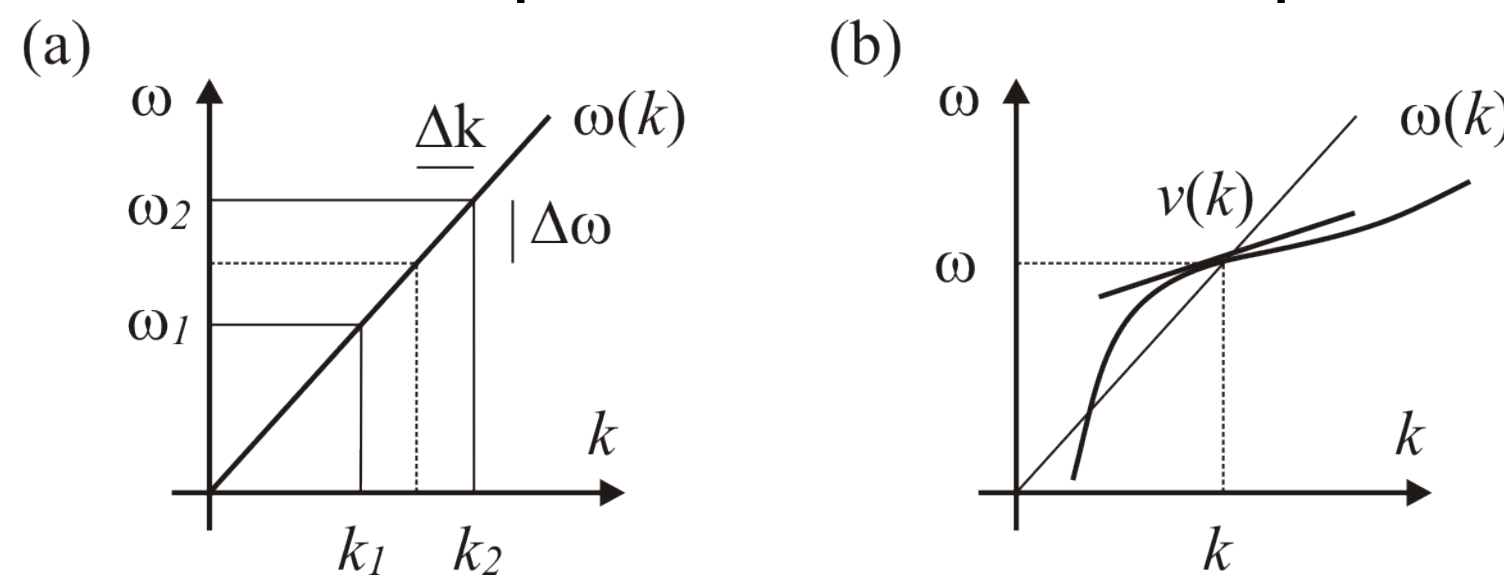
Vitesse de groupe

- Comment définir la vitesse d'un pulse?
- Vitesse à laquelle l'information (l'enveloppe ou la modulation) se déplace:

$$v=rac{\partial \omega}{\partial k}$$
 Vitesse de groupe $c=rac{\omega}{k}$ Vitesse de phase

Milieu non dispersif:

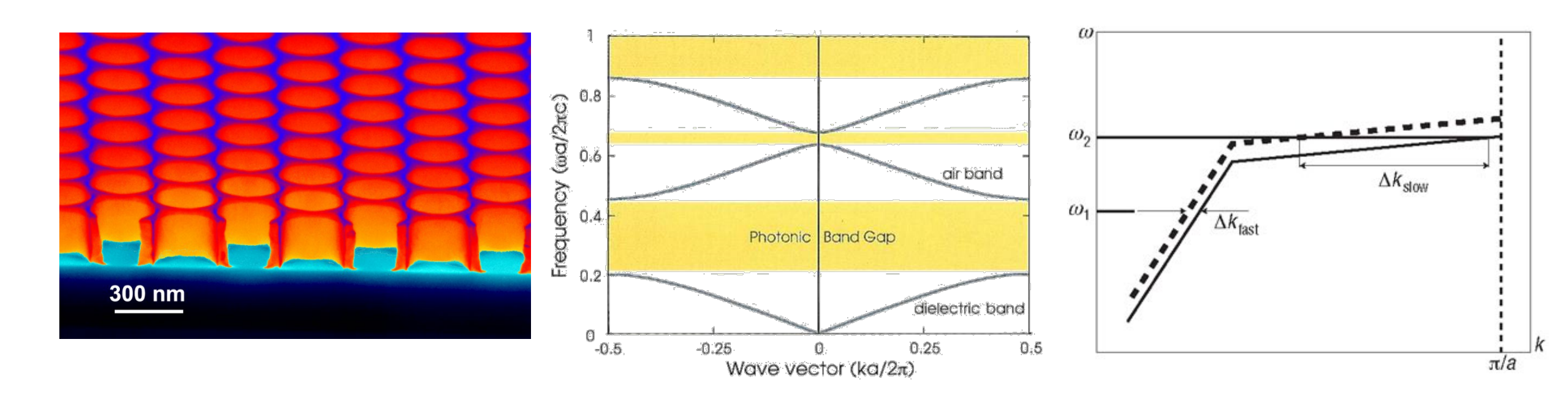
Milieu dispersif:



 Dans les milieux dispersifs, la vitesse de groupe est différente de la vitesse de phase

Cristaux photonics

- Arrangements périodiques de microstructures qui ont le même effet sur la lumière qu'un semiconducteur sur les électrons → structure de bande
- Proche du band-edge, la vitesse de groupe peut devenir très petite (la lumière est ralentie)



John D. Joannopoulos et al., <u>Photonic Crystals: Molding the Flow of Light</u> (Princeton University Press, 1995)

Cristaux photonics

• Observation de «ultra-slow light» avec une vitesse de groupe égale à $c_0/1000!$

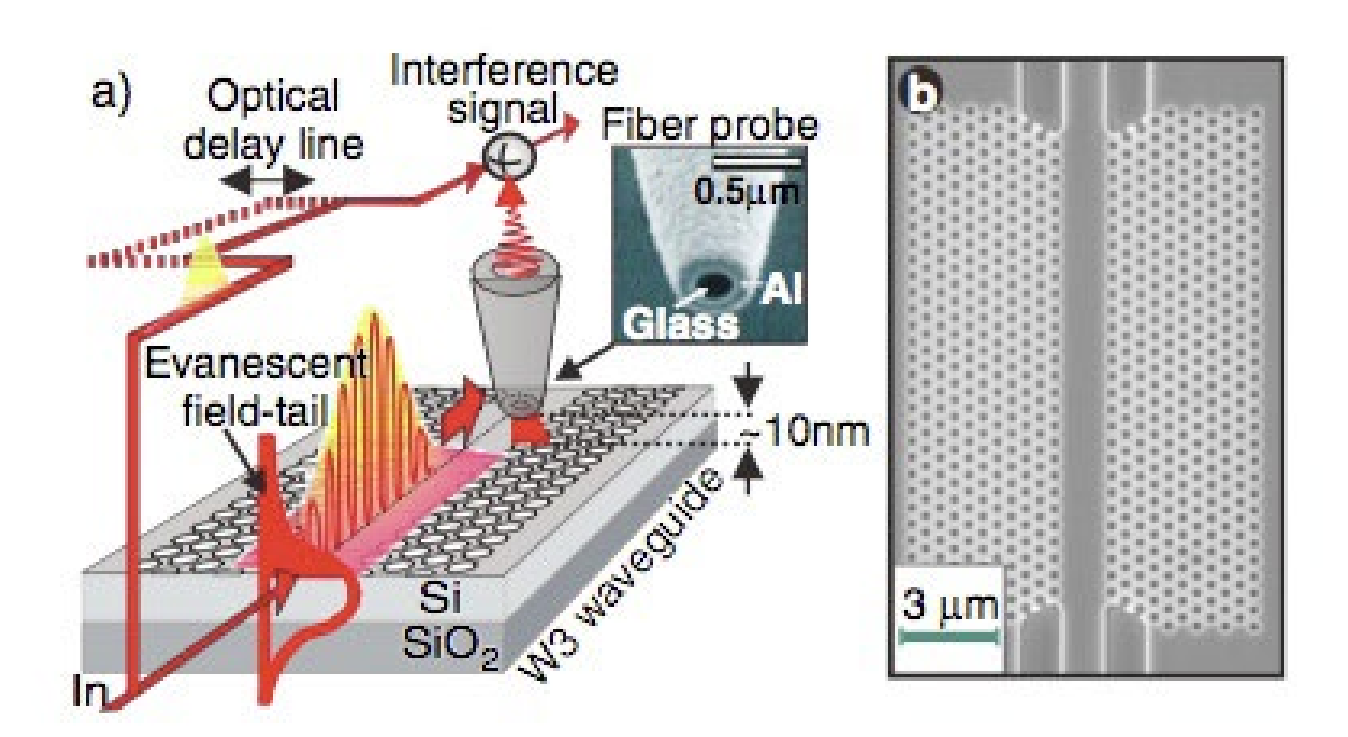
PRL 94, 073903 (2005)

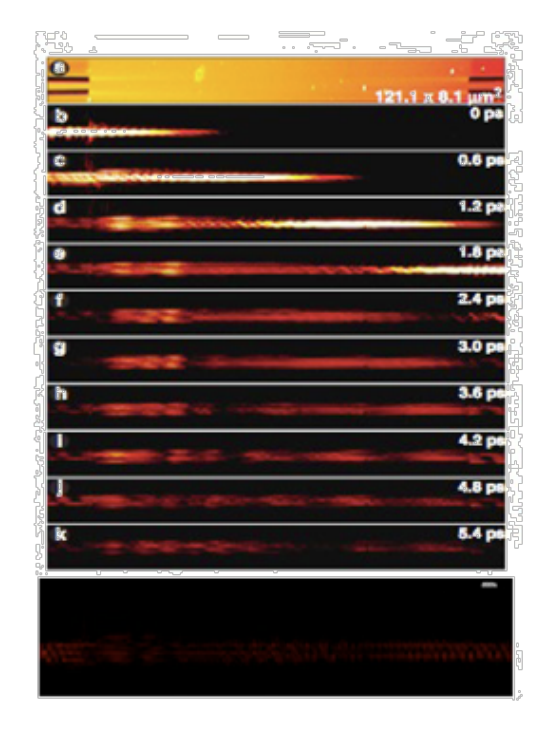
PHYSICAL REVIEW LETTERS

week ending 25 FEBRUARY 2005

Real-Space Observation of Ultraslow Light in Photonic Crystal Waveguides

H. Gersen, 1,* T. J. Karle, R. J. P. Engelen, W. Bogaerts, J. P. Korterik, N. F. van Hulst, T. F. Krauss, and L. Kuipers 1,4,†





Ingénierie optique

Semaine 4 – partie 3





Holographie

- La phase d'une onde nous dit combien l'onde a voyagé, elle permet donc de reconstruire le trajet de l'onde en 3D
- Une photo n'enregistre que l'intensité, comment enregistrer l'amplitude et la phase?
- L'holographie enregistre justement l'amplitude et la phase d'une onde objet

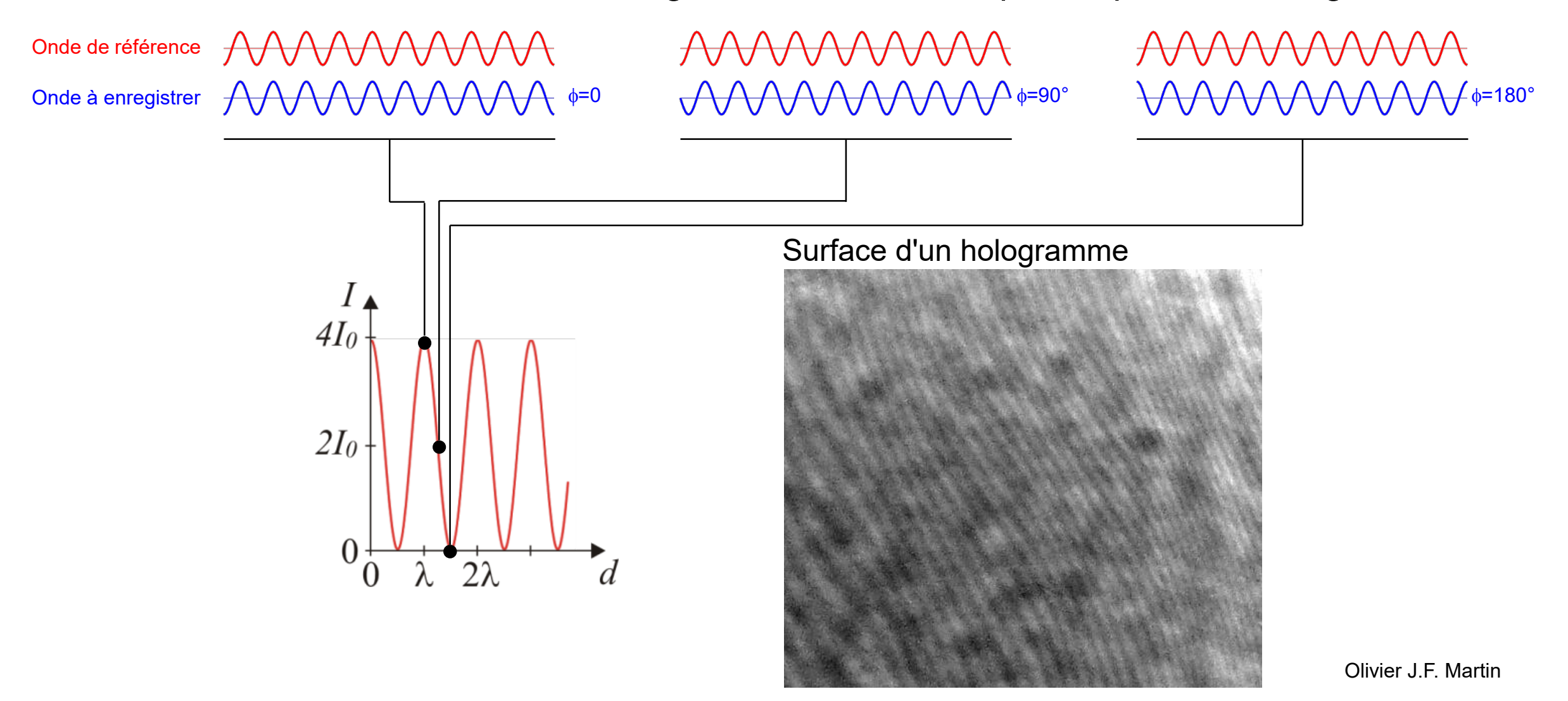
Fig. 1.7. Professor Gabor with his holographic portrait; this hologram was produced by R. Rinehart at the McDonnel Douglas Electronics Company in 1971, using a pulsed laser.



J.W. Goodman, <u>Introduction to Fourier</u> <u>Optics</u> (2nd Ed. Mc Graw Hill, 1996)

Holographie

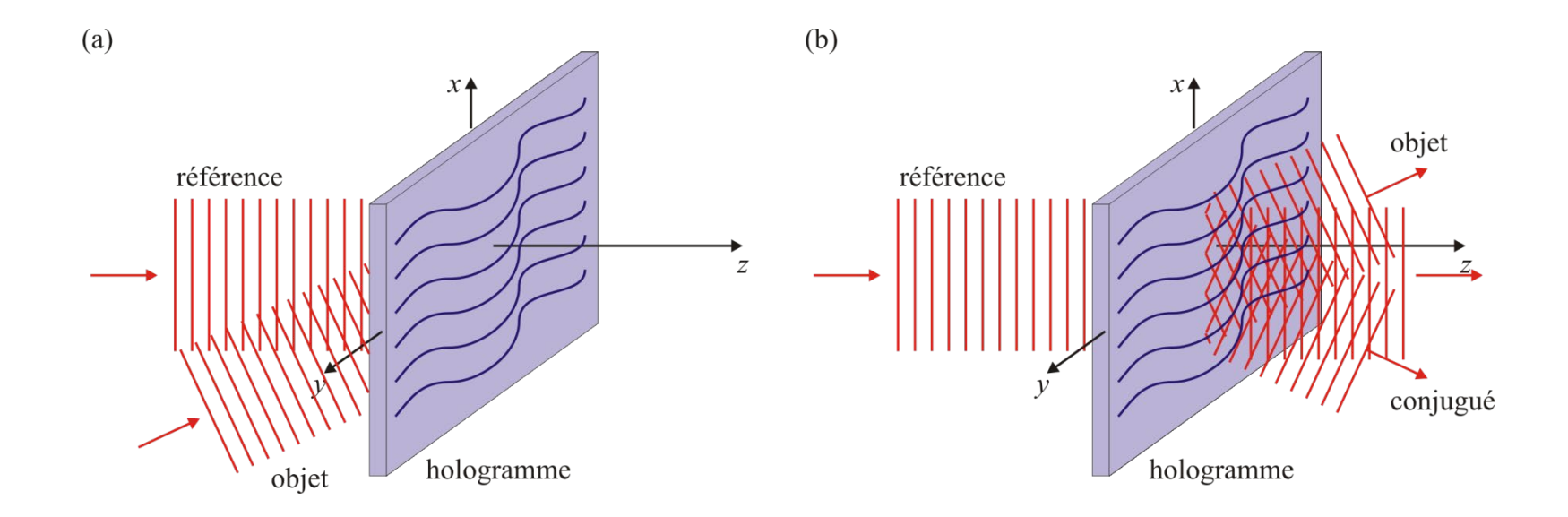
 Pour enregistrer l'amplitude et la phase d'une onde, on fait une interférence avec une onde de référence et on enregistre l'interférence, plutôt que l'onde originale



Hologramme

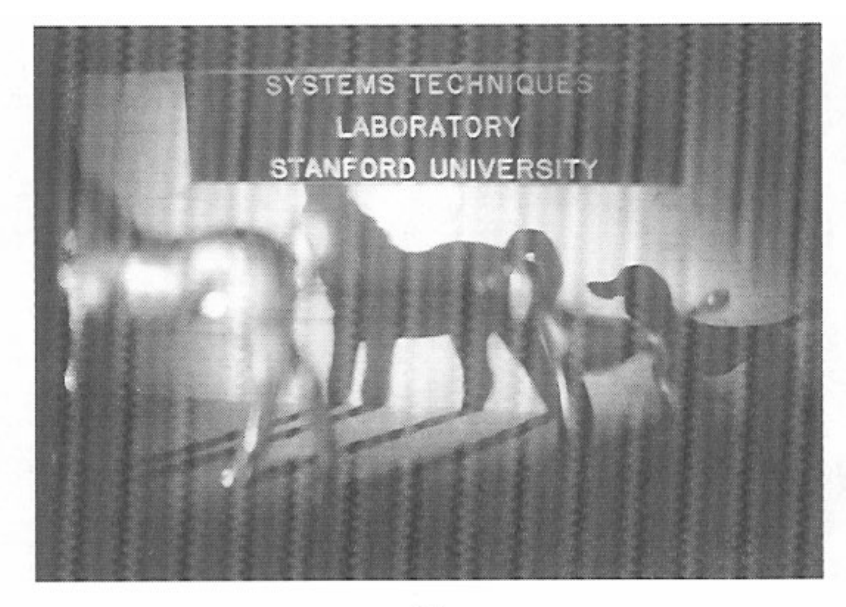
- Onde objet monochromatique complexe (amplitude + phase) $U_o(x,y)$
- On enregistre l'onde complexe en faisant une interference avec une onde de référence: $t \propto |U_o + U_r|^2 = |U_r|^2 + |U_o|^2 + U_r^* U_o + U_r U_o^* = I_r + I_o + U_r^* U_o + U_r U_o^* \ .$
- On lit l'image en illuminant avec la même onde de reference:

$$U = U_r t \propto U_r I_r + U_r I_o + I_r U_o + U_r^2 U_o^*$$
.

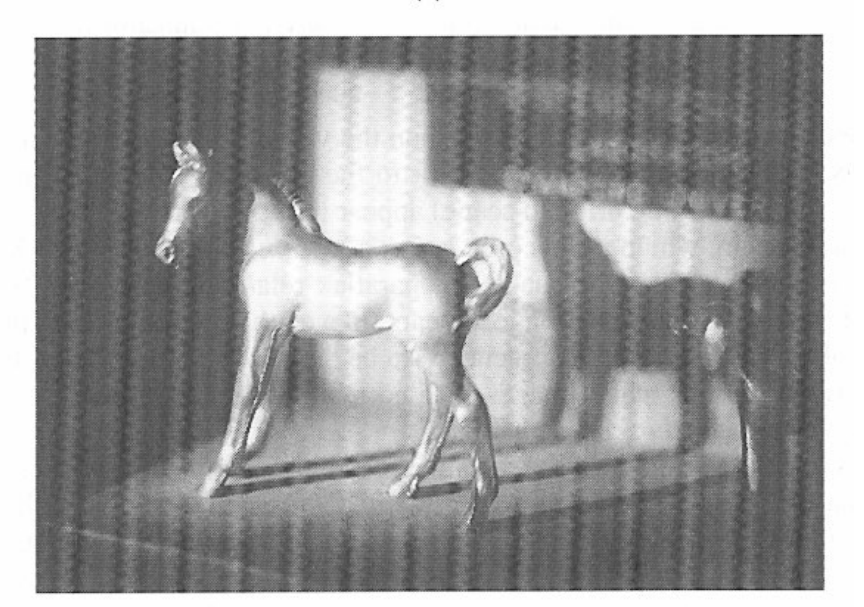


L'objet 3D est recréé en entier

- En observant (ou en prenant en photo) l'hologramme, on peut mettre au point sur différentes parties (le premier plan, l'arrière plan, etc...)
- L'hologramme représente donc l'objet en entier, avec son amplitude et sa phase



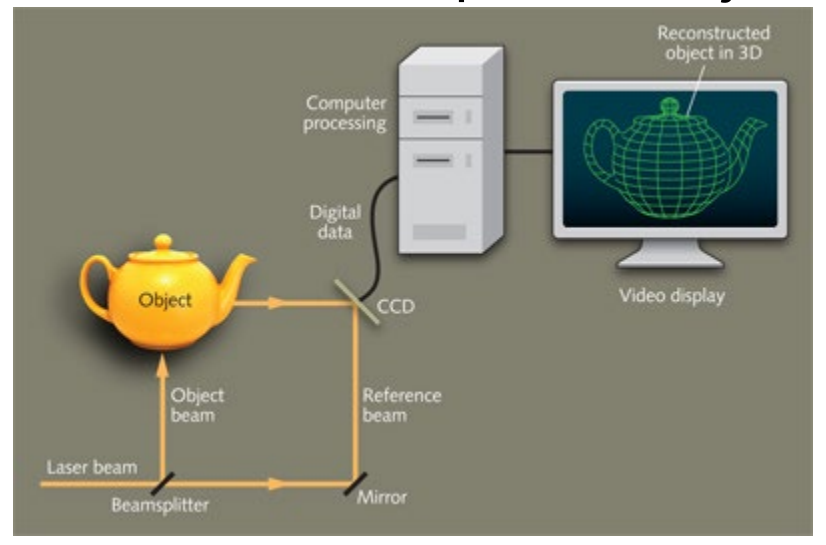
(a)

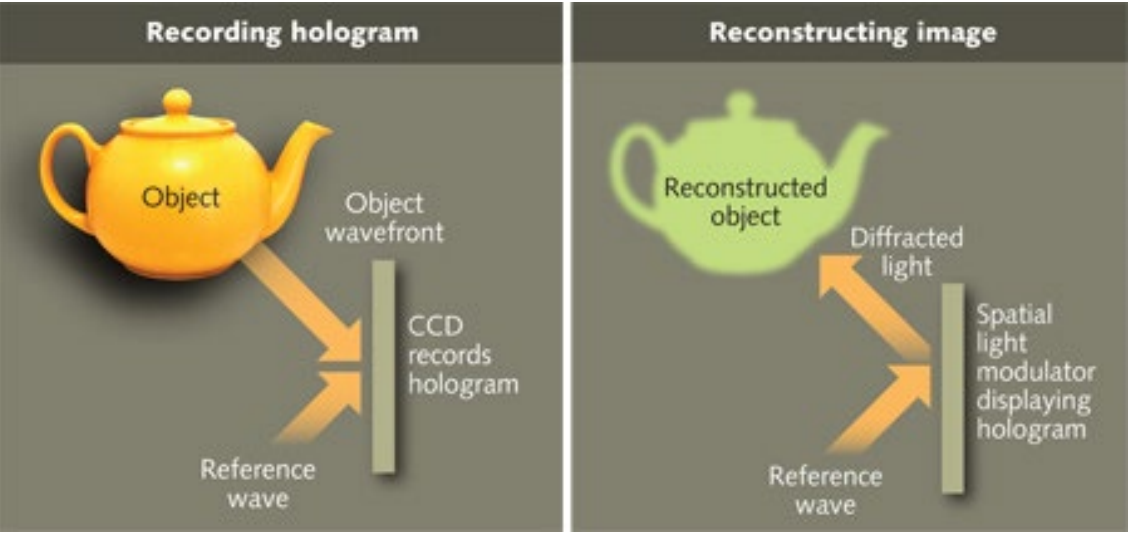


J.W. Goodman, <u>Introduction to Fourier</u> <u>Optics</u> (2nd Ed. Mc Graw Hill, 1996)

Holographie digitale

 On peut enregistrer l'hologramme sur une caméra CCD ou même calculer l'hologramme à partir d'un modèle numérique de l'objet

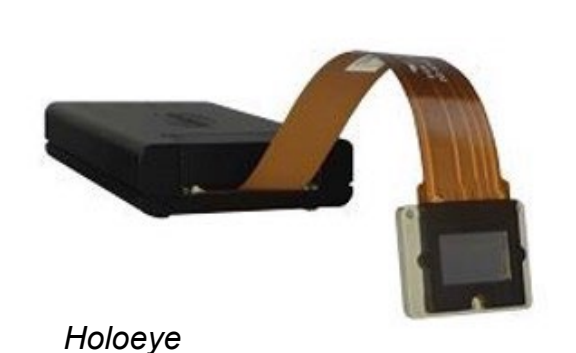


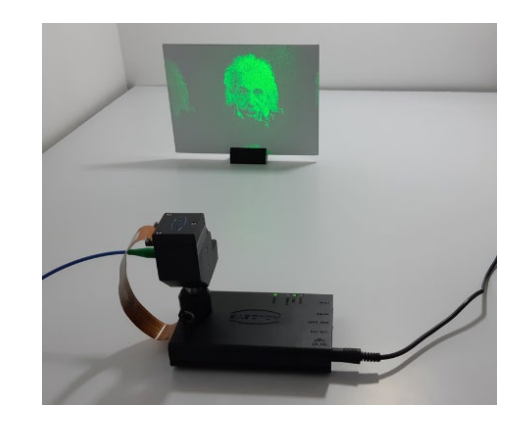


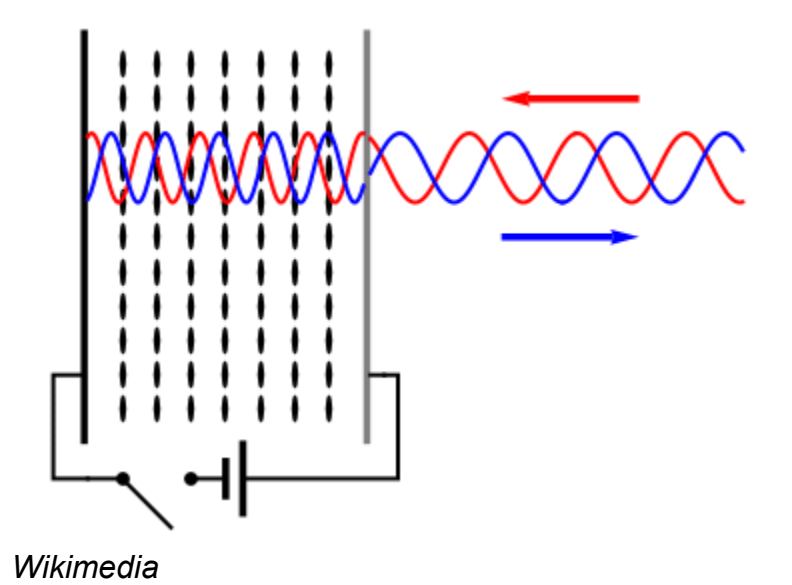
laserfocusworld.com

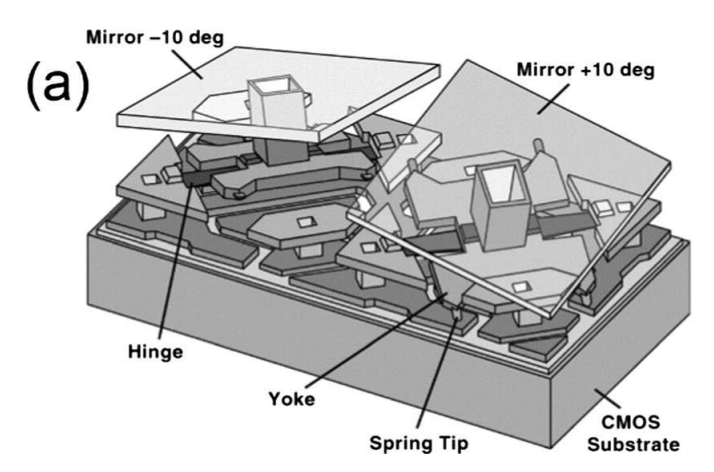
Spatial light modulator (SLM)

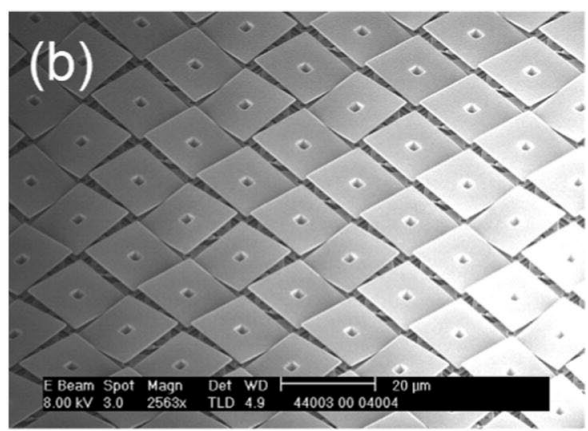
- Il existe essentiellement deux types: à cristaux liquides ou à micro-mirroirs (DMD)
- Matrice de pixels adressables individuellement







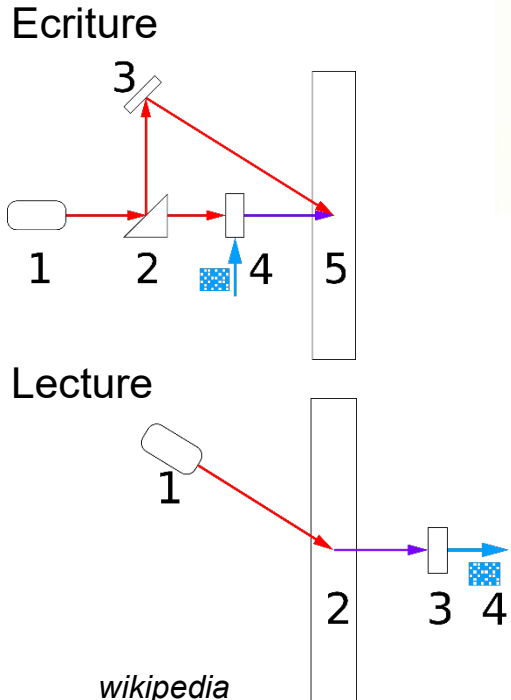




Texas Instruments

Mémoire holographique

- Permet de stocker une grande quantité
 d'information en utilisant le volume du matériau
 de stockage et en enregistrant différents objets
 avec différentes ondes de référence, voire
 différentes longueurs d'onde
- En principe, on peut stocker
 1 bit par unité de volume λ³
- Soit 500 MB par mm³, pour λ =633 nm (laser He-Ne)



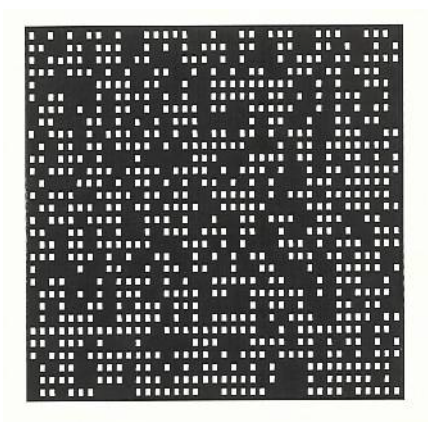


Fig. 1. A section of a page of binary data, representing what would appear on the spatial light modulator. A typical page would contain 1024×1024 bits, and the size of each bit cell would be $15-20~\mu m$

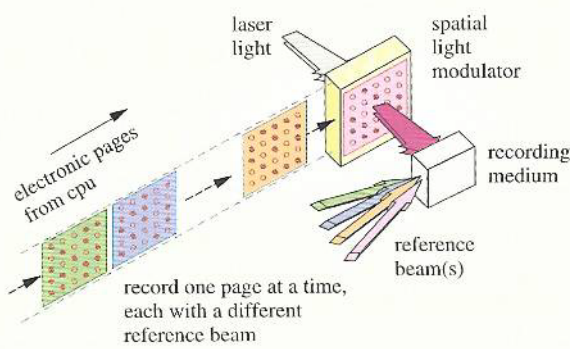
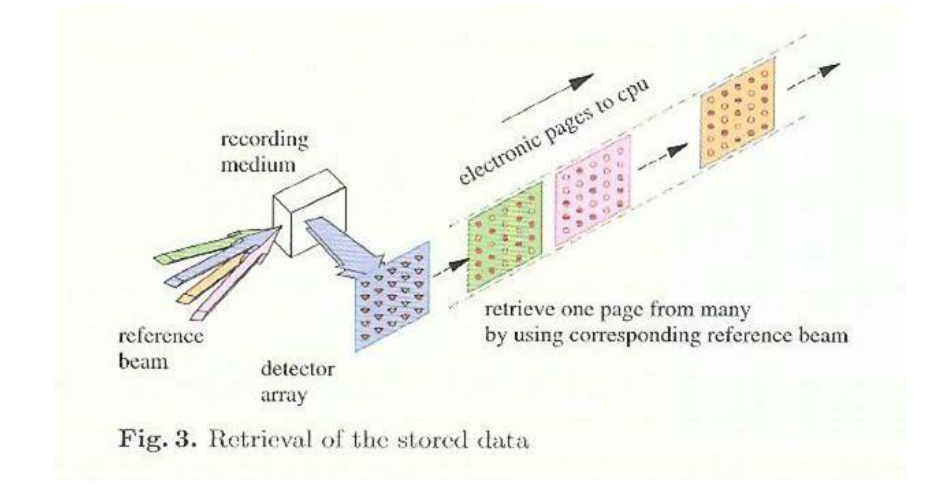
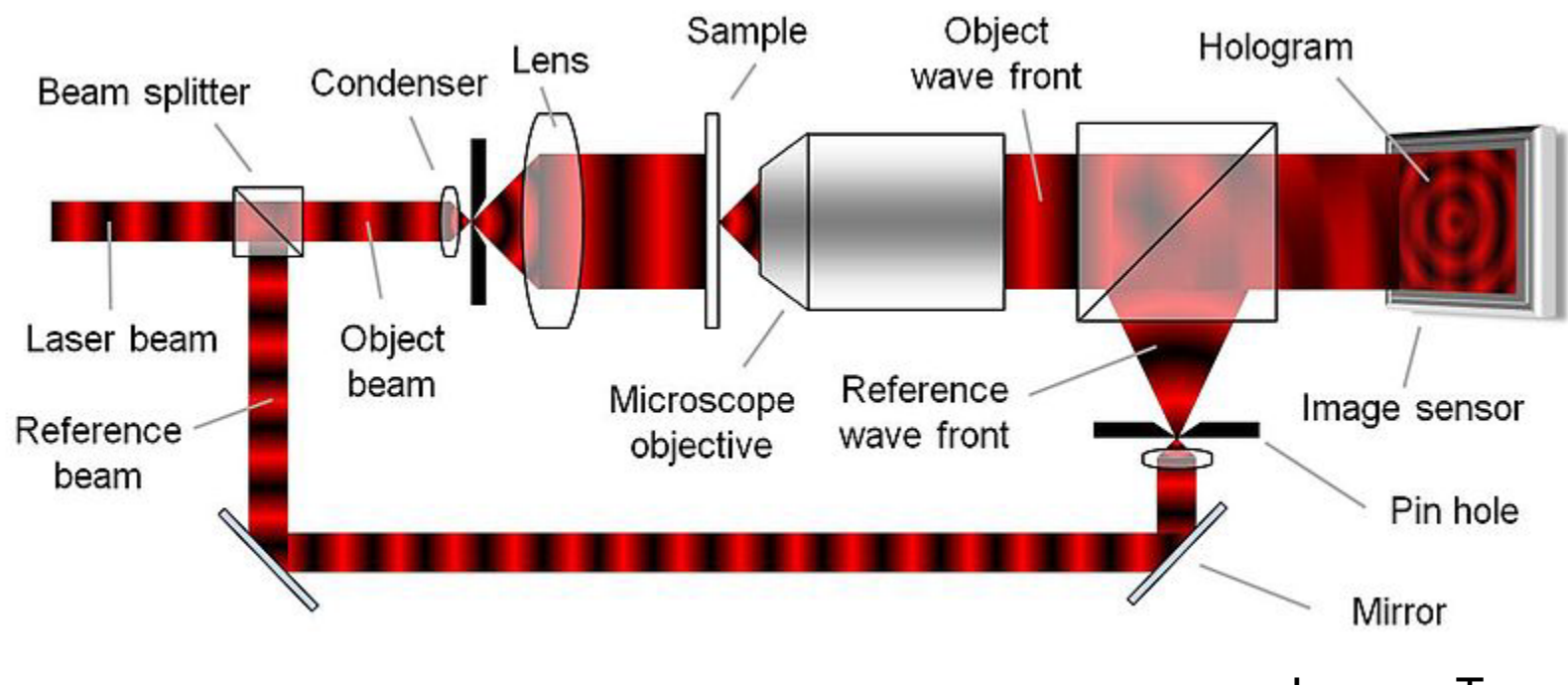


Fig. 2. Recording of digital data using angular multiplexing



Microscopie holographique digitale

- On enregistre un hologramme de l'échantillon
- On peut ensuite reconstruire l'objet en 3D
- Lyncéetec, issue de la microtechnique EPFL, leader mondial dans la microscopie holographique digitale



Microscopie holographique digitale

Cellules vivantes:

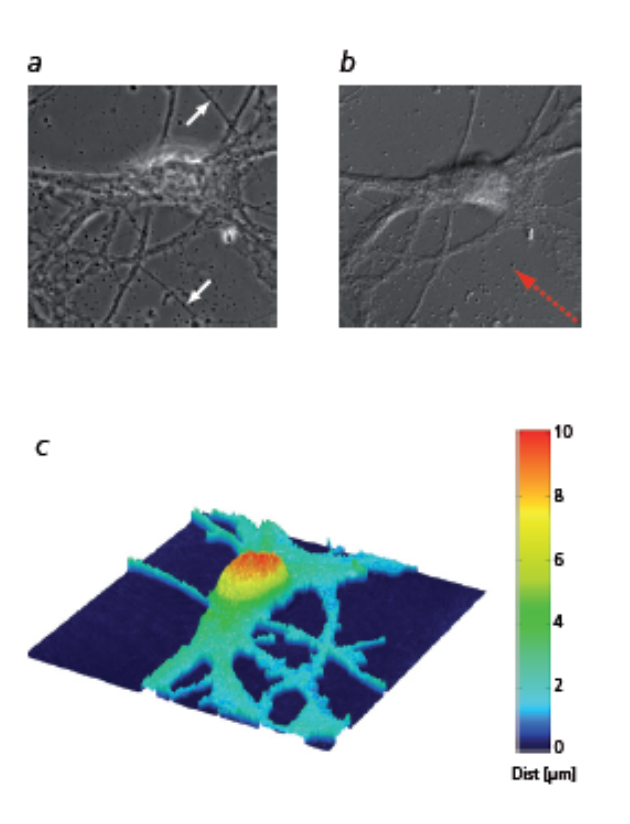


Figure 1: Images of a living mouse cortical neuron in culture: a) dark PhC image; b) DIC image; c) perspective image in false colors of the phase distribution obtained with the DHM™ T1000.

Micro-lentilles

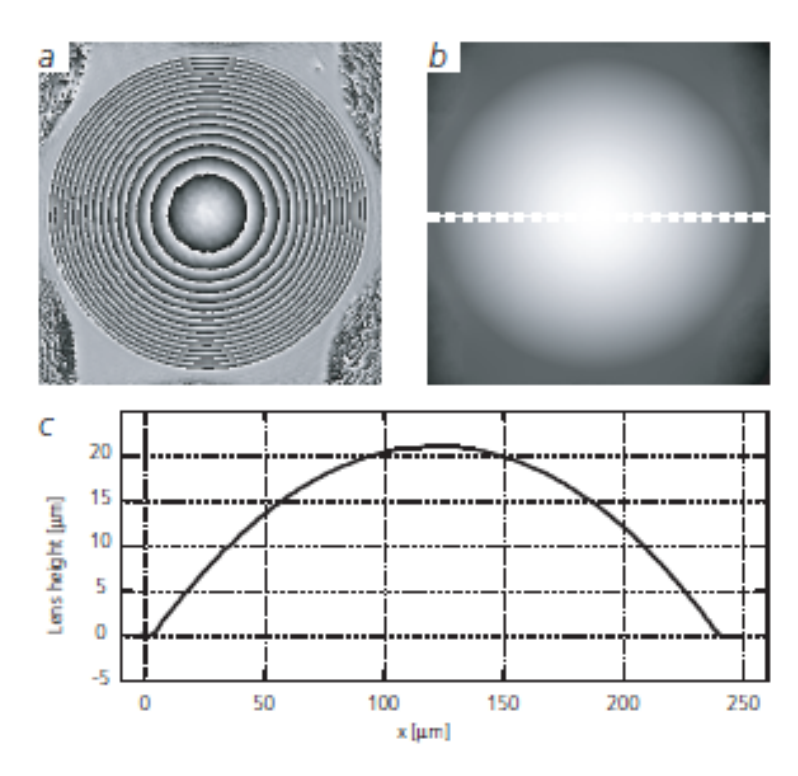


Figure 1: Phase images of a quartz refractive transmission lens (diameter 240µm, maximal height 21.15µm, measured ROC 351µm) obtained with DHM™ T1000: (a) wrapped, (b) unwrapped and (c) height profile taken along the dashed line in (b).

Lyncee Tec

Microscopie holographique digitale

Rugosité de surface (pour une sphère):

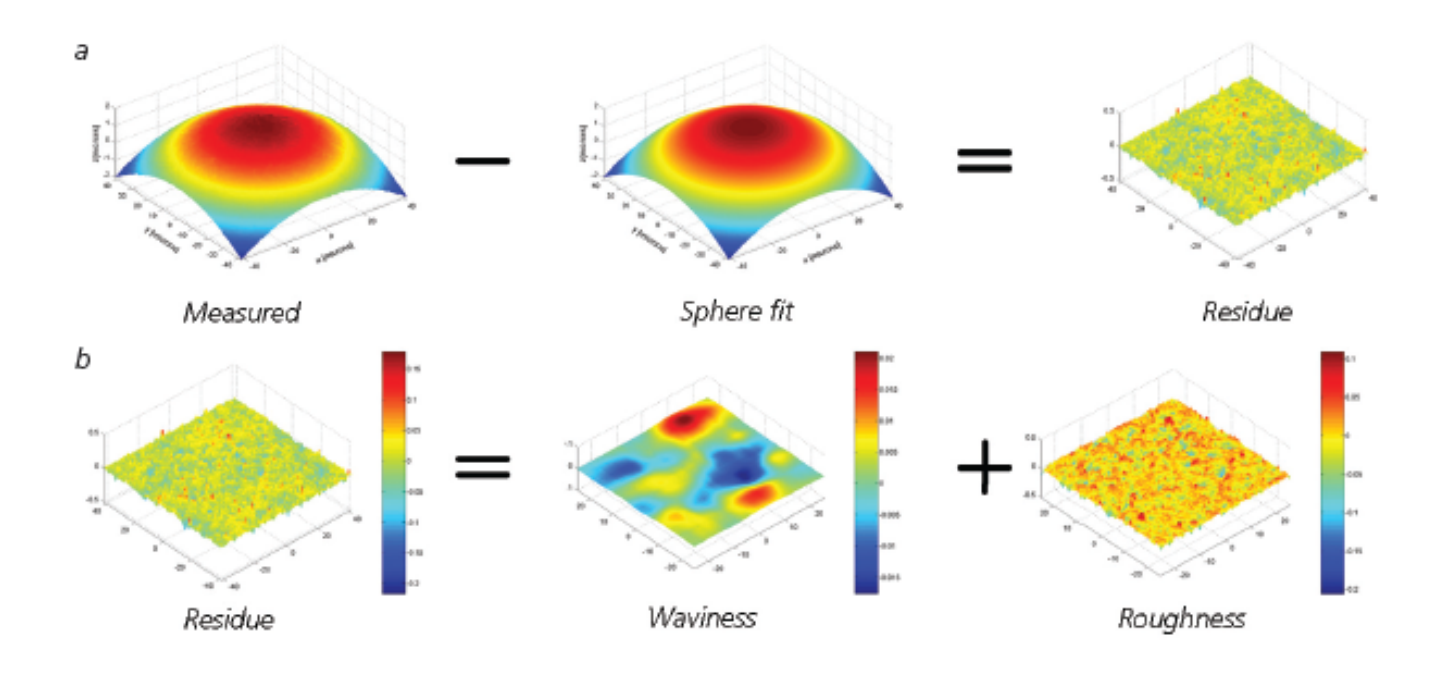
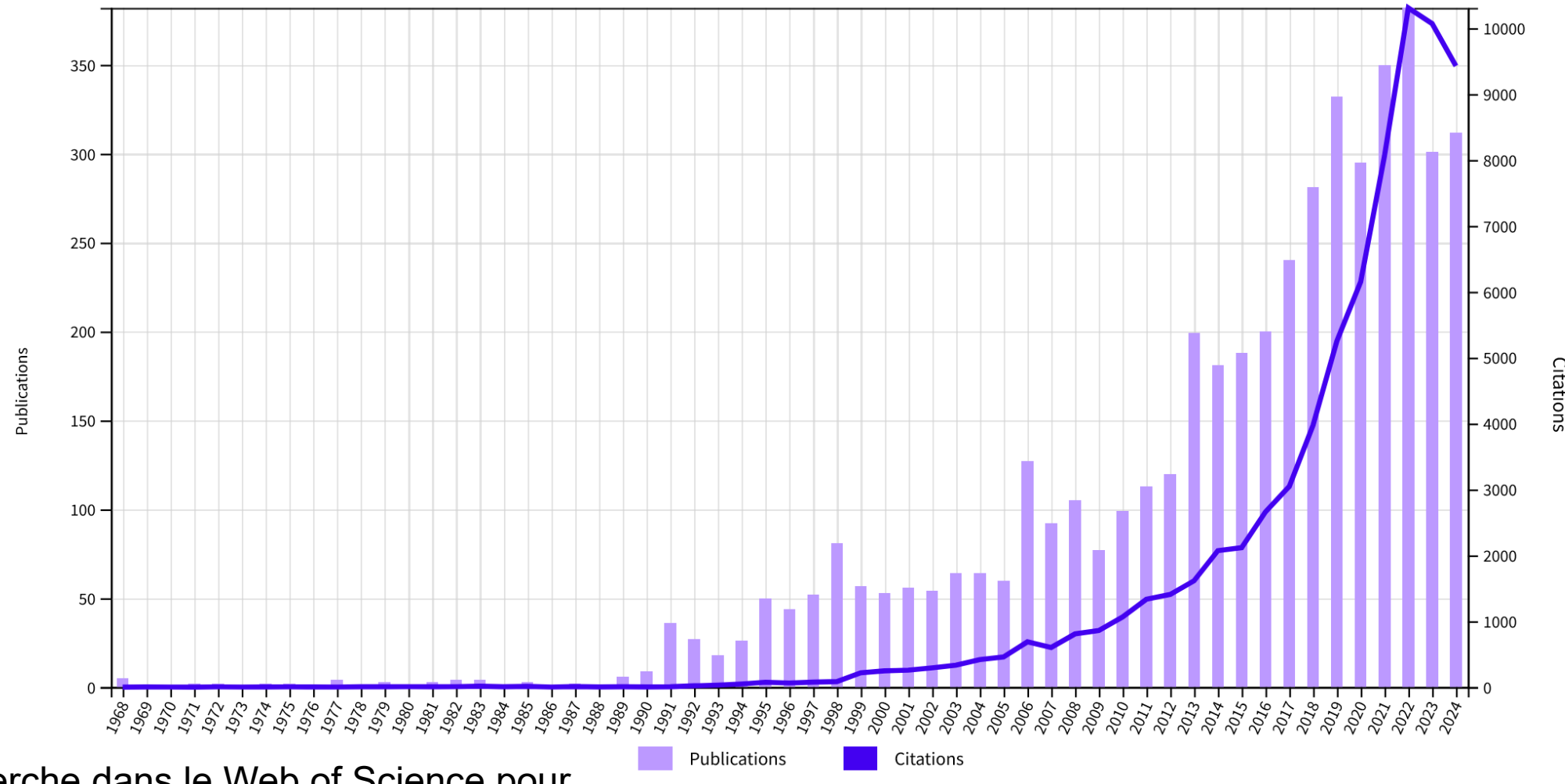


Figure 1: (a) Form factor removal principle: a spherical fit is subtracted to the measured surface to obtain the residual surface.

(b) Roughness surface determination: the residual surface is decomposed in two parts by frequency: the waviness is composed of the low frequencies and the roughness of the high ones.

 Un sujet de recherche intense avec des applications en réalité augmentée et virtuelle



Recherche dans le Web of Science pour "holographic display", octobre 2024



Toward the next-generation VR/AR optics: a review of holographic near-eye displays from a human-centric perspective

CHENLIANG CHANG,¹ KISEUNG BANG,² GORDON WETZSTEIN,³ BYOUNGHO LEE,² AND LIANG GAO^{1,*}

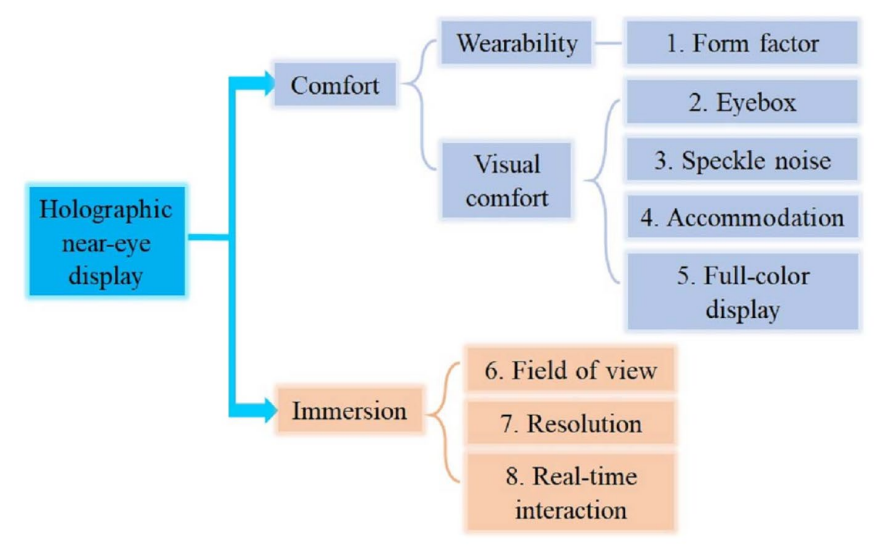


Fig. 1. Categorization of holographic near-eye displays from the human-centric perspective.

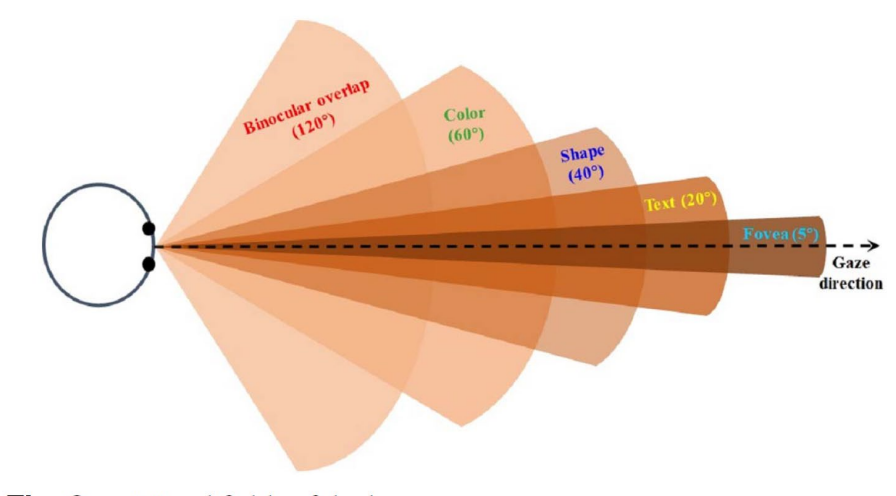
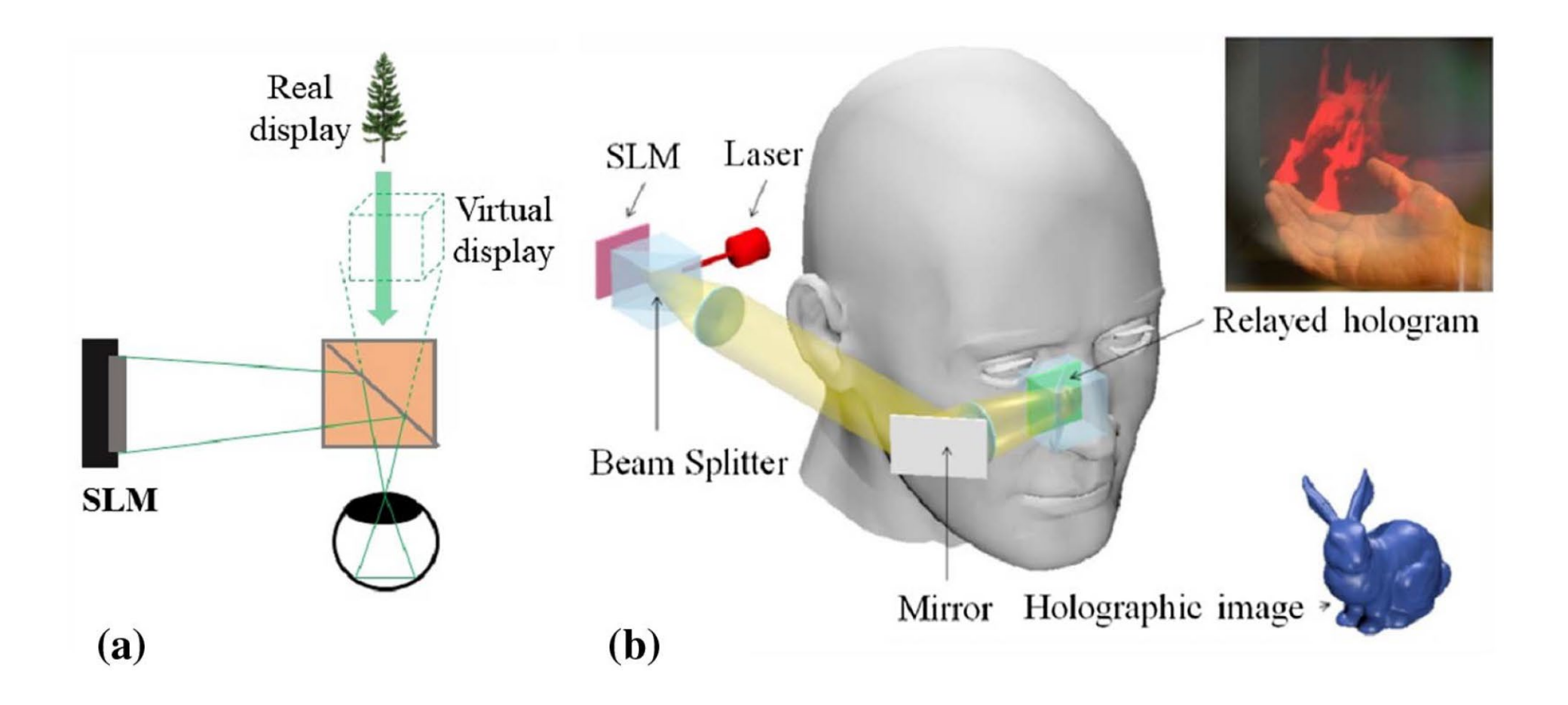
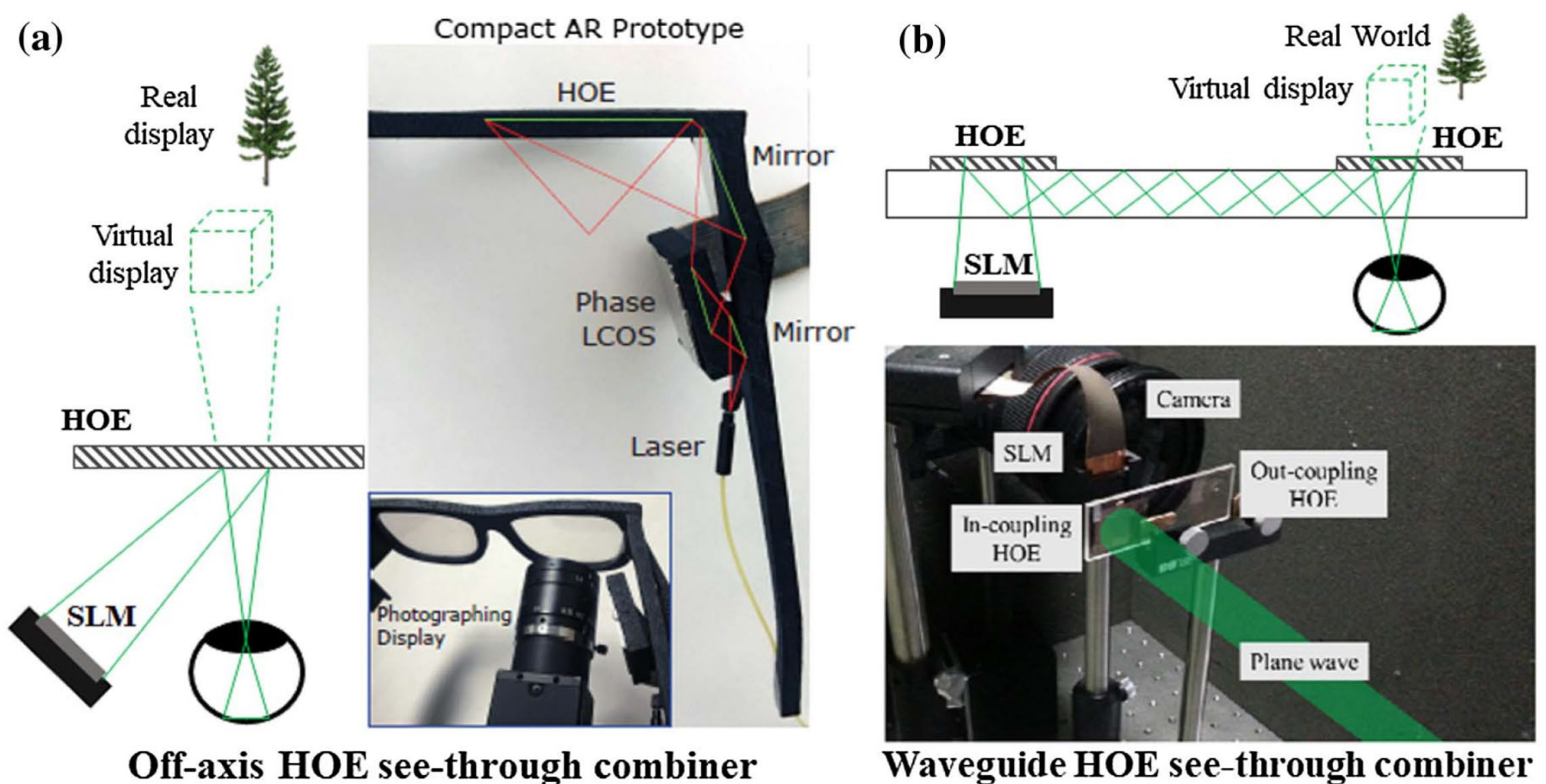


Fig. 2. Visual fields of the human eye.

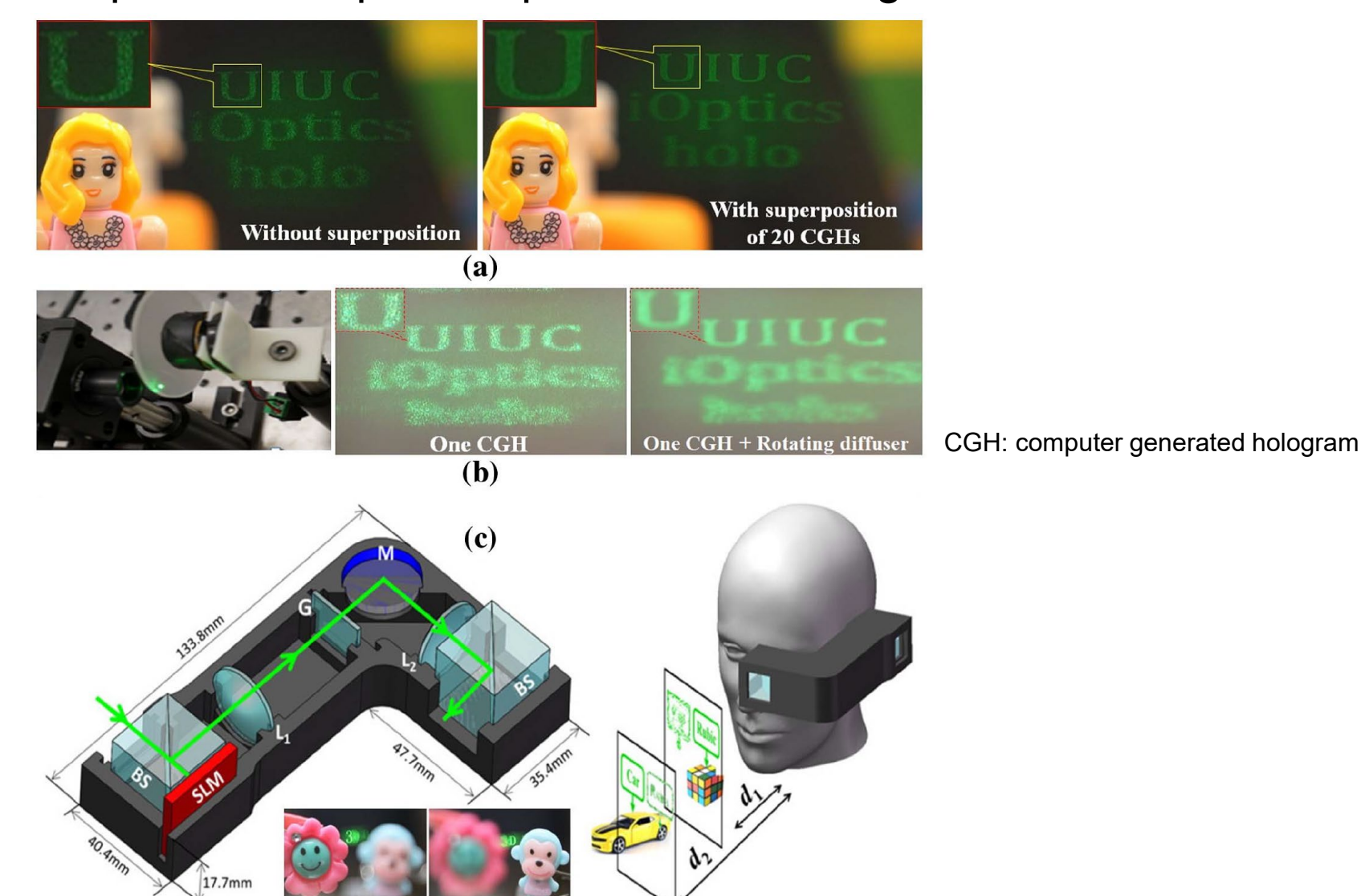
Deux composants principaux: spatial light modulator (SLM) et beam splitter



Deux composants principaux: spatial light modulator (SLM) et beam splitter



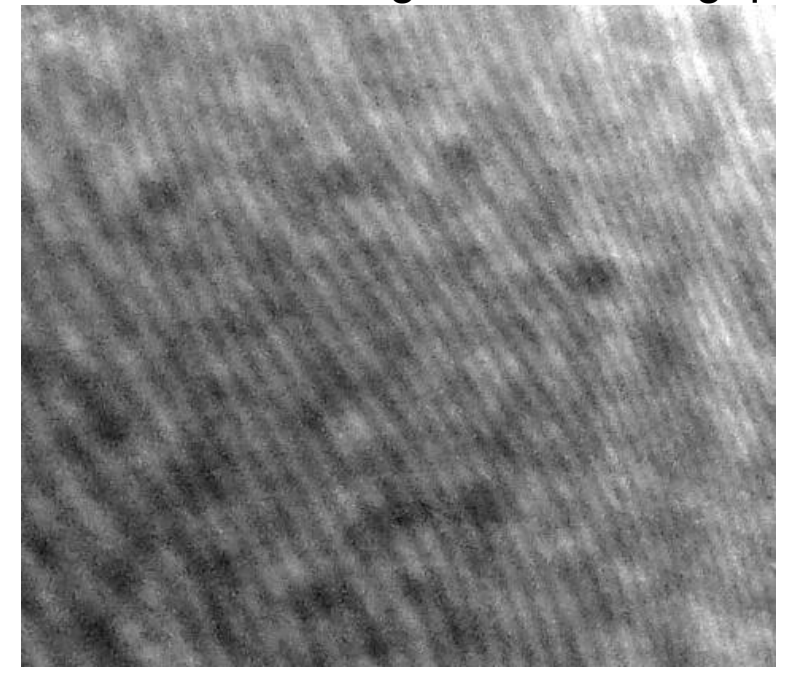
La cohérence du laser produit du speckle qui détériore l'image et doit être éliminé

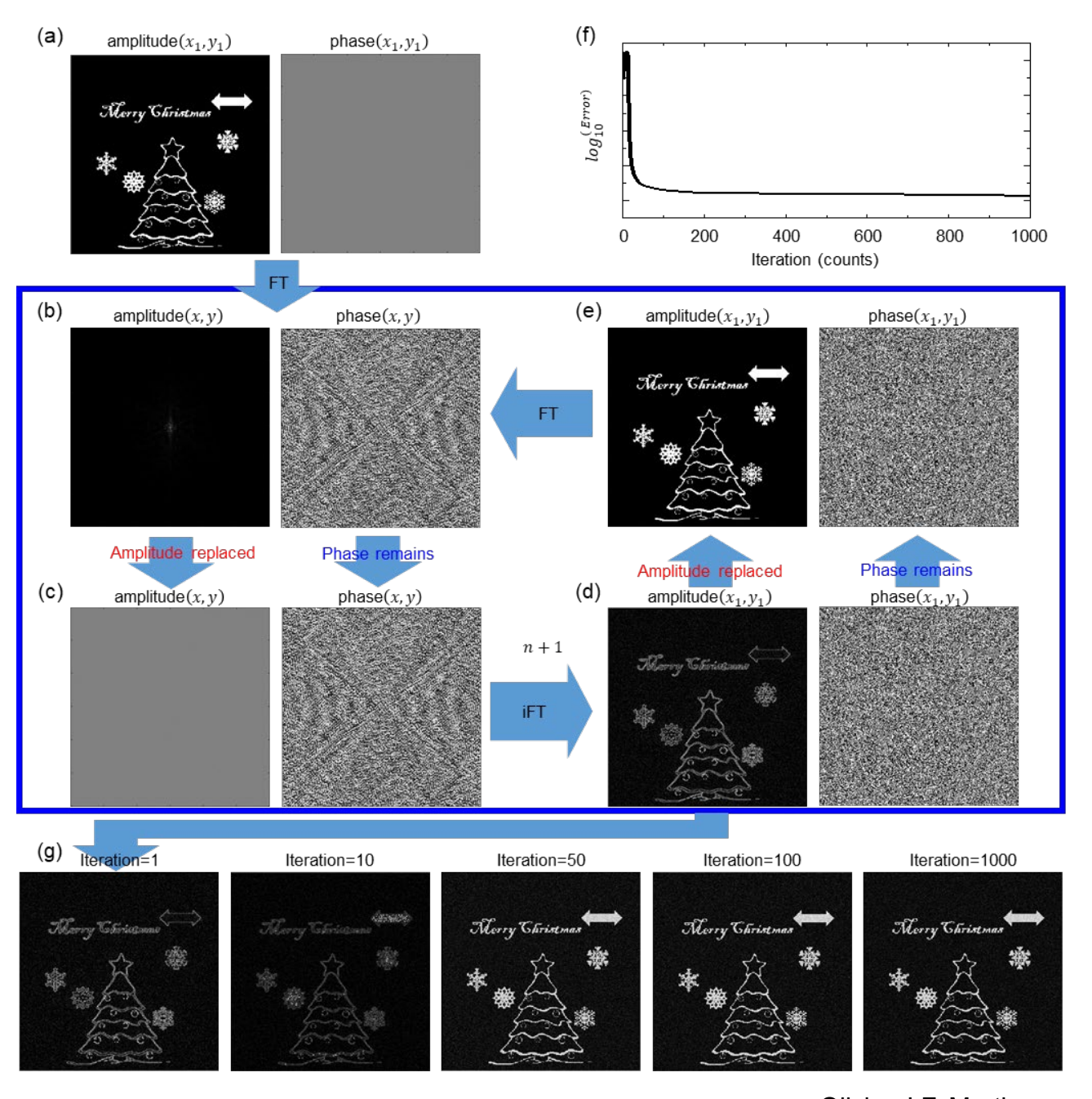


Holographie digitale

 Il est possible de créer un hologramme «digital» dans lequel on discrétise la phase uniquement et l'amplitude est constante

Surface d'un hologramme analogique





Olivier J.F. Martin